



Compiler für Eingebettete Systeme

[CS7506]

Sommersemester 2014

Heiko Falk

Institut für Eingebettete Systeme/Echtzeitsysteme
Ingenieurwissenschaften und Informatik
Universität Ulm



Kapitel 9

Compiler zur WCET_{EST}- Minimierung

Inhalte der Vorlesung

1. Einordnung & Motivation der Vorlesung
2. Compiler für Eingebettete Systeme – Anforderungen & Abhängigkeiten
3. Interner Aufbau von Compilern
4. Prepass-Optimierungen
5. HIR Optimierungen und Transformationen
6. Instruktionsauswahl
7. LIR Optimierungen und Transformationen
8. Register-Allokation
- 9. Compiler zur WCET_{EST}-Minimierung**
10. Ausblick

Inhalte des Kapitels

9. Compiler zur WCET_{EST}-Minimierung

- Einführung
 - Integration eines WCET-Zeitmodells in einen Compiler
 - Herausforderungen bei der WCET-Optimierung
- *Procedure Cloning & Positioning*
 - WCET-bewusstes *Procedure Cloning*
 - *Procedure Positioning* zur Reduktion von *Cache Misses*
- Register-Allokation
 - Problem der Standard Graph-Färbung
 - WCET-bewusste Graph-Färbung
- *Scratchpad*-Allokation von Daten und Code
 - Allokation von globalen Daten
 - Allokation von Basisblöcken

Entwurfsmethodik von Software für Echtzeitsysteme

Jetzige industrielle Praxis (Automotive, Avionik)

1. Spezifikation in grafischen Werkzeugen
2. Automatische Erzeugung von ANSI-C Code
3. Übersetzen in ausführbaren Maschinencode für gegebenen Ziel-Prozessor
4. Vielfaches Ausführen / Simulieren des Maschinencodes, Verwendung „repräsentativer“ Eingabedaten
5. Zeitmessungen liefern „beobachtete Laufzeiten“
6. Aufschlag von Sicherheitspuffer (z.B. 20%) auf höchste beobachtete Laufzeit: „beobachtete *Worst-Case Execution Time (WCET)*“
7. Beobachtete WCET \leq Echtzeit-Bedingungen? Nein: Gehe zu 1

Probleme dieser Methodik

Sicherheit

- Keine Gewähr, dass beobachtete WCET annähernd effektiver WCET entspricht
- ☞ Keine Garantie, dass hartes Echtzeitsystem immer pünktlich arbeitet

Entwurfszeit

- Wie viele Iterationen notwendig, bis Schritt 7 erfolgreich?
- ☞ Abhängig davon, inwieweit Schritte 2-3 zu effektiver Code-Beschleunigung führen
- ☞ *Try & Error*, bis Schritt 7 erfolgreich

Stand der Technik im Compilerbau

Zielfunktion heutiger Compiler-Optimierungen

- In der Regel Reduktion durchschnittlicher Laufzeiten (*Average-Case Execution Time, ACET*): Beschleunigung einer „typischen“ Ausführung eines Programms für „typische“ Eingabedaten
- ☞ Keine gesicherte Aussage über Einfluss von Optimierungen auf WCETs möglich

Optimierungsstrategie

- Naiv: heutige Compiler enthalten kein echtes ACET-Zeitmodell
- Optimierungen werden angewendet wenn dies „Erfolg versprechend“ oder „plausibel“ erscheint
- ☞ Einfluss von Optimierungen auf ACETs sind dem Compiler unbekannt
- ☞ ACET-Optimierungen verschlechtern evtl. die WCET – Compiler werden oft ohne Optimierungen im Bereich von Echtzeitsystemen angewendet

Motivation

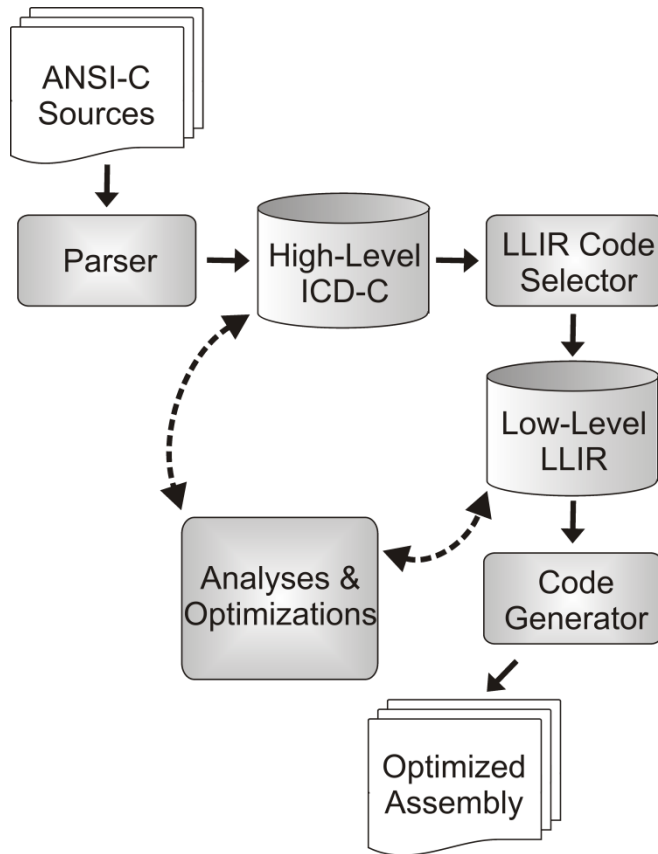
Entwurf eines Compilers, der

- statt durchschnittlicher Laufzeiten WCET-Abschätzungen betrachtet,
- formale Garantien zu *Worst-Case* Eigenschaften erlaubt, anstatt auf beobachteten WCETs zu basieren,
- automatische Optimierungen zur $WCET_{EST}$ -Minimierung durchführt

Ansatz

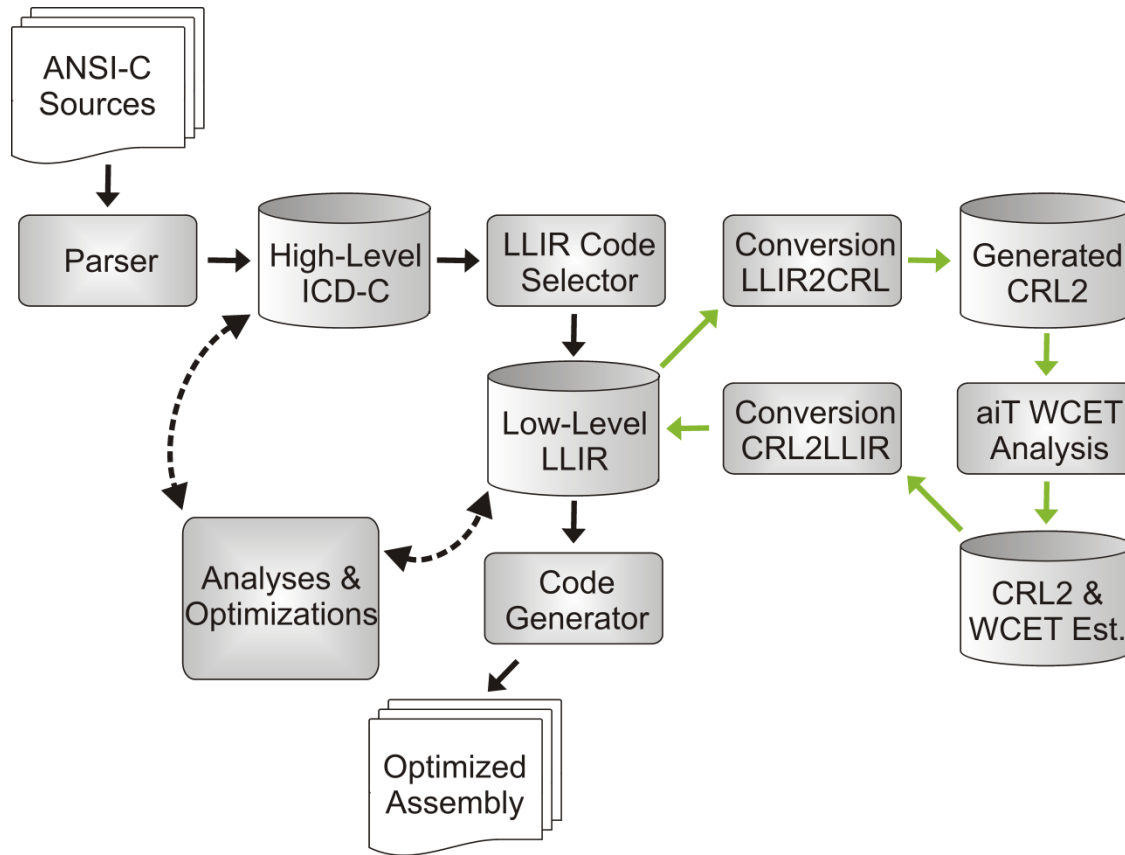
- Integration eines WCET-Zeitmodells in Compiler durch Anbindung statischer WCET-Analysewerkzeuge
- Ausnutzung des Zeitmodells zur systematischen WCET-Minimierung durch neuartige Optimierungen

Integration eines WCET_{EST}-Modells in Compiler (1)



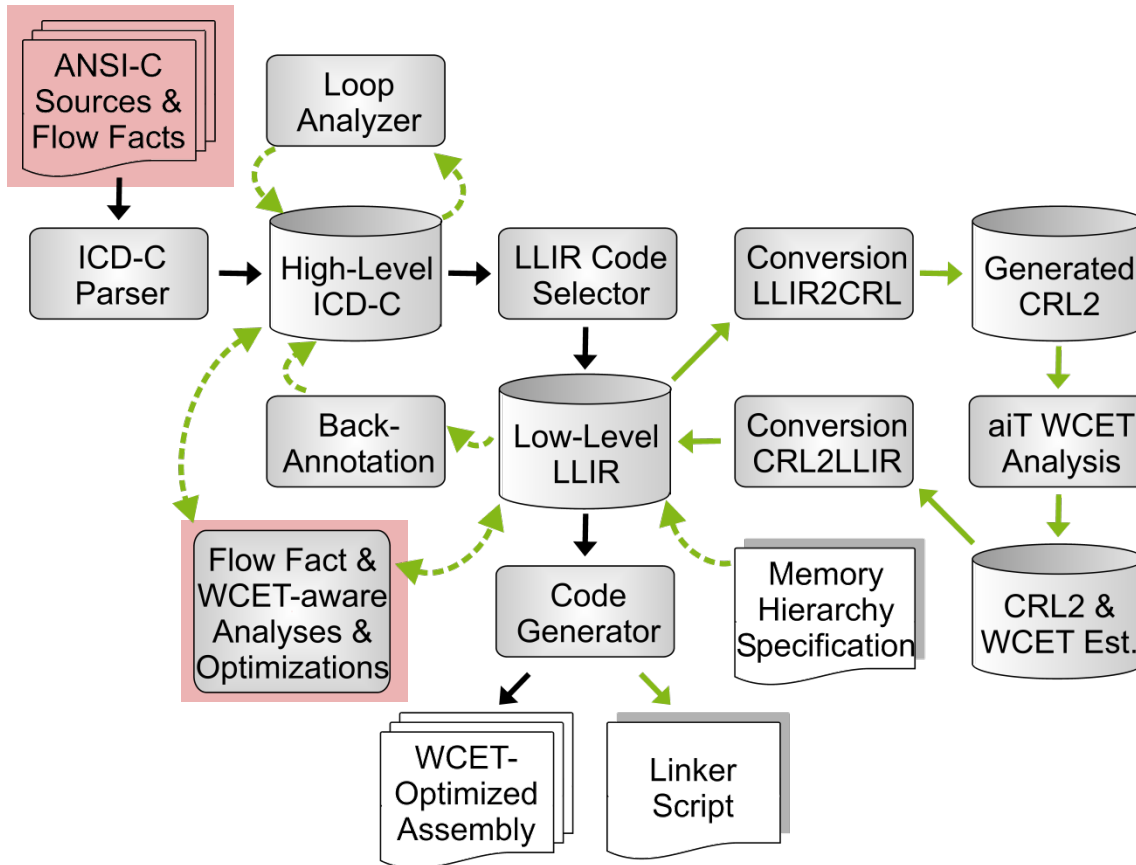
- Re-Implementierung eines WCET Zeitmodells in Compiler nicht sinnvoll
- Statt dessen: Enge Integration von aiT (*☞ siehe Kapitel 5*)
- Kopplung in Prozessor-spezifischem Compiler *Back-End* (LLIR)
- Informationsaustausch durch Übersetzung LLIR ↔ CRL2
- Transparenter Aufruf von aiT innerhalb des Compilers
- Import WCET-relevanter Daten in Compiler *Back-End*

Integration eines WCET_{EST}-Modells in Compiler (2)



- Relevante WCET-Daten:
- WCET_{EST} für Programm, Funktion, Basisblock
 - *Worst-Case* Ausführungshäufigkeit pro Funktion, Basisblock, Kante im CFG
 - Potentielle Register-Inhalte
 - *Cache Hits / Misses* pro Basisblock

WCC – Der WCET-aware C Compiler (1)

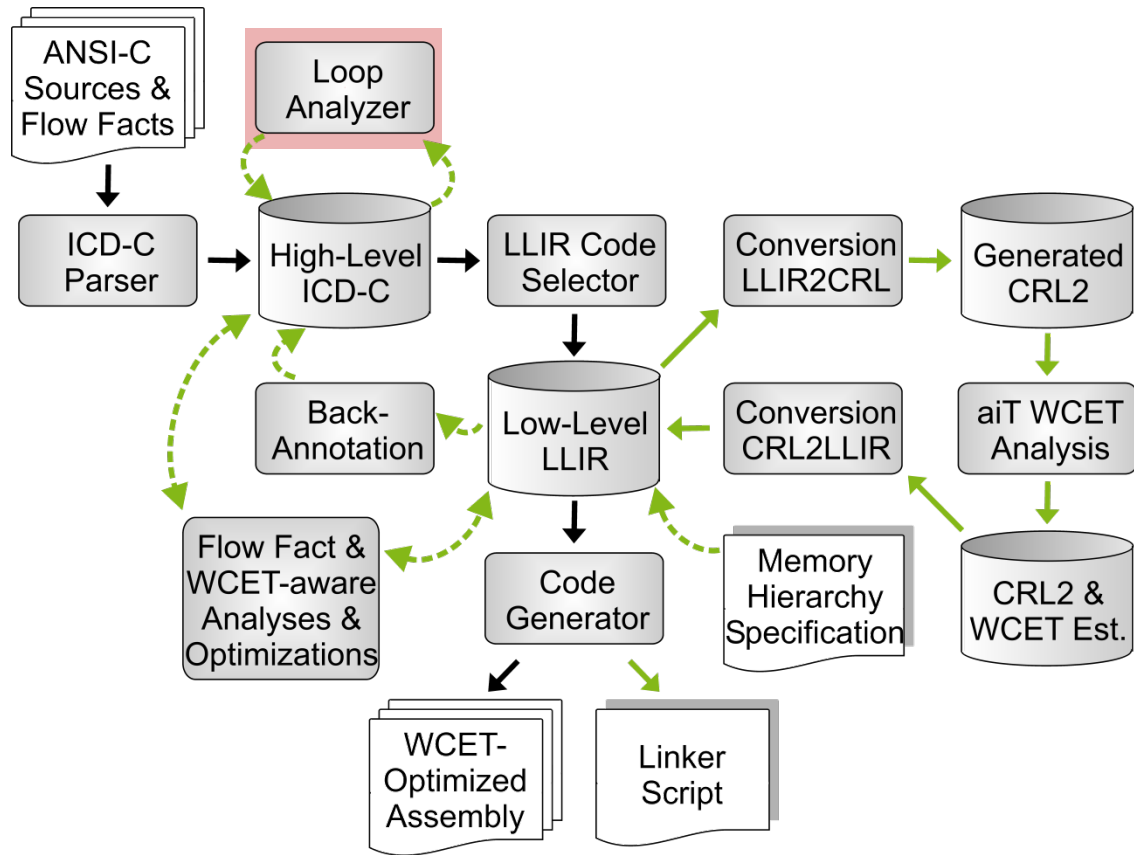


Flow Facts

- WCET-Analyse: max. Iterationszahlen & Rekursionstiefen
- WCC: Annotation direkt im C Quellcode:

```
_Pragma (
  "loopbound min 10
  max 10" );
```
- Optimierungen, die Kontrollfluss ändern, aktualisieren *Flow Facts* automatisch

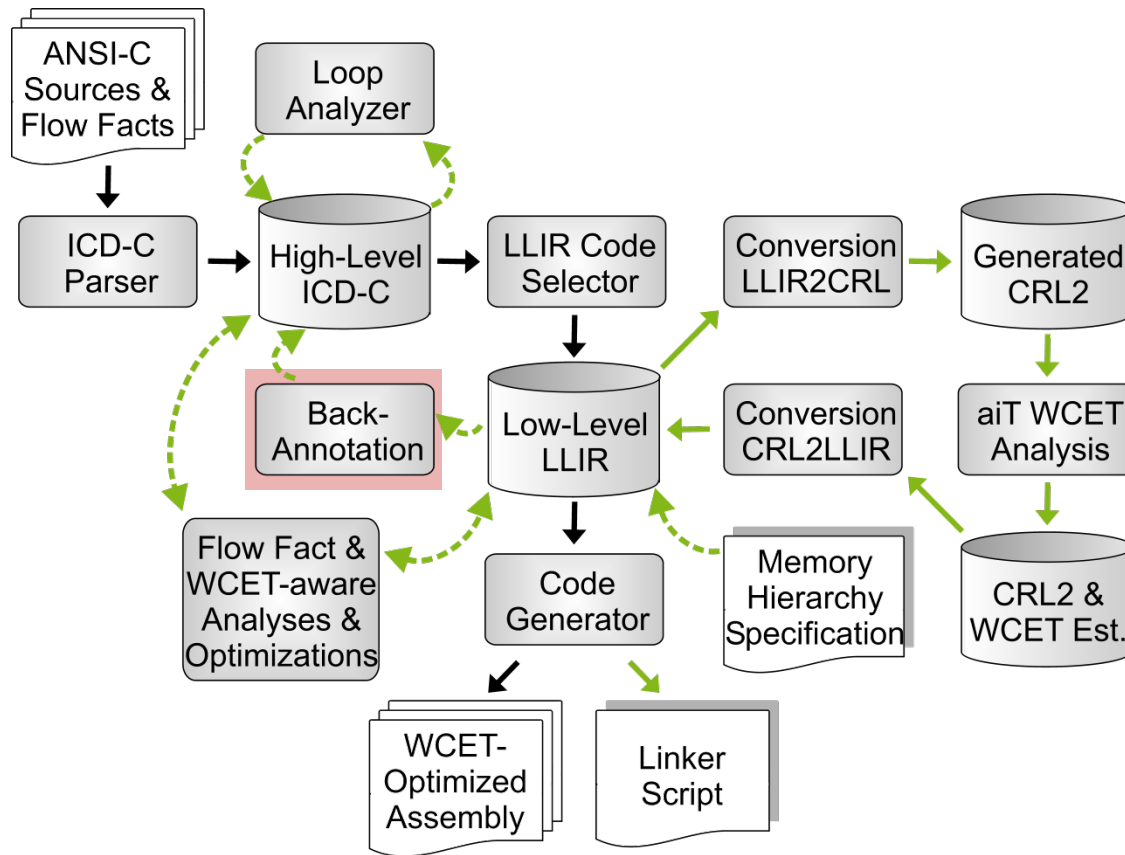
WCC – Der WCET-aware C Compiler (2)



Loop Analyzer

- Manuelle *Flow Fact* Annotation umständlich und fehleranfällig
- WCC: Automatische Schleifenanalyse, die max. Iterationszahlen ermittelt
- Basiert z.T. auf Polytop-Modellen
(☞ siehe Kapitel 4)

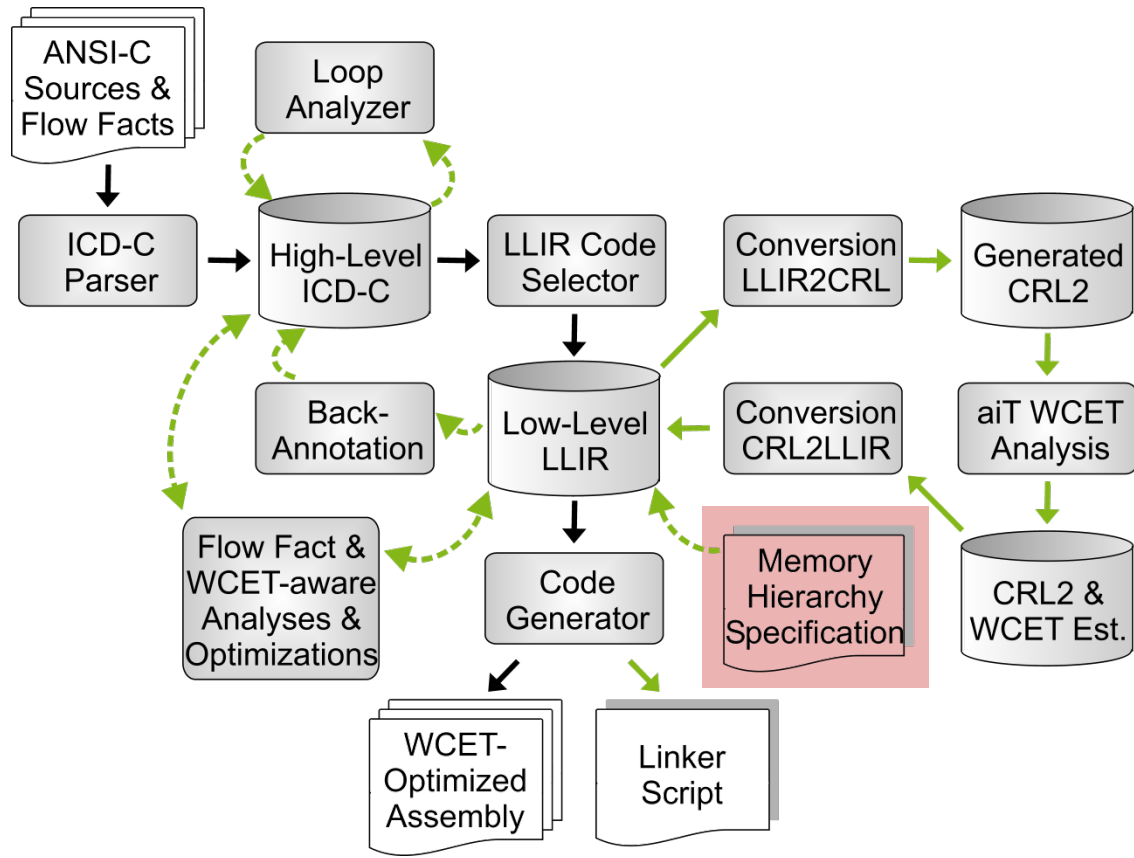
WCC – Der WCET-aware C Compiler (3)



Back-Annotation

- WCET_{EST}-Daten von aiT nur im *Backend*
- HIR-Optimierungen haben keinen Zugriff auf WCET_{EST}-Daten
- ☞ WCET_{EST}-Minimierung auf HIR-Ebene nicht möglich
- WCC: *Back-Annotation* übersetzt WCET_{EST}-Daten von LIR nach HIR

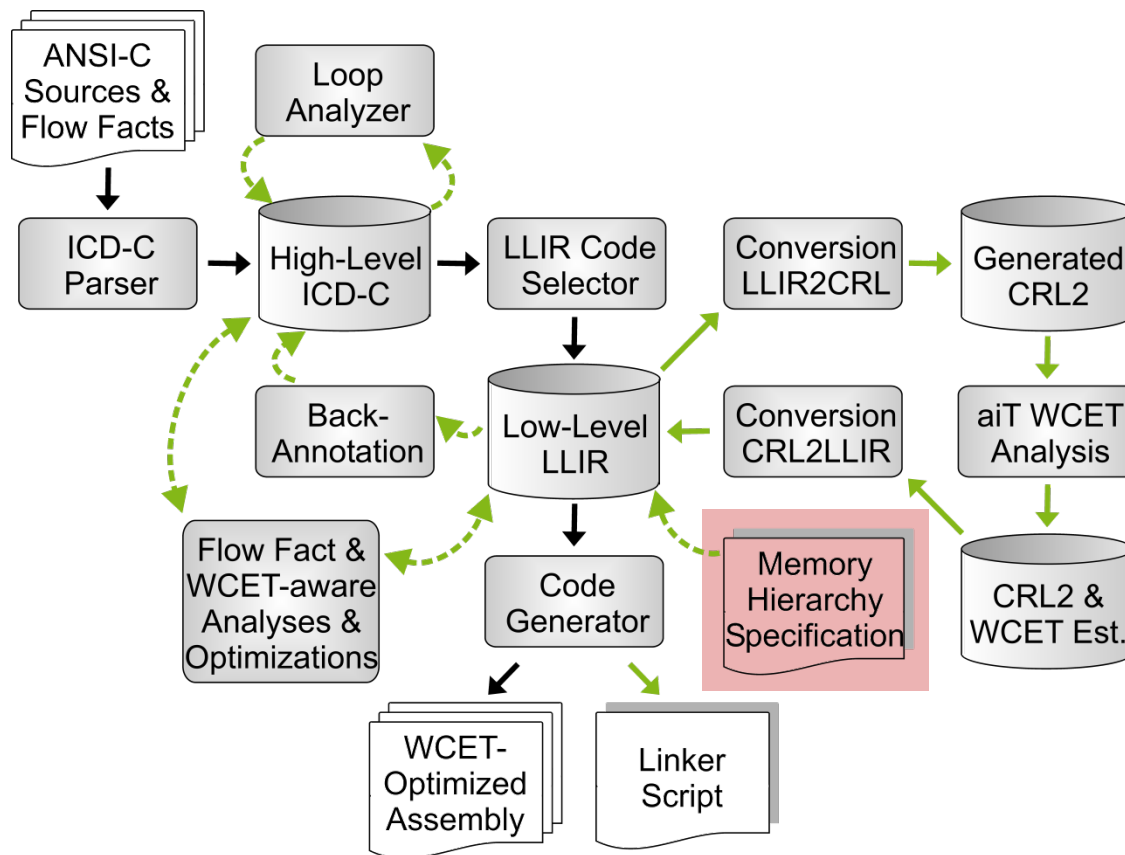
WCC – Der WCET-aware C Compiler (4)



Memory Hierarchy

- aiT arbeitet auf Binär-code mit physikalischen Adressen
- WCC muss aiT korrekte phys. Adressen für Code, Daten, Sprünge und *Load-/Store*-Operationen bereitstellen
- WCC braucht Detailwissen über Speicher

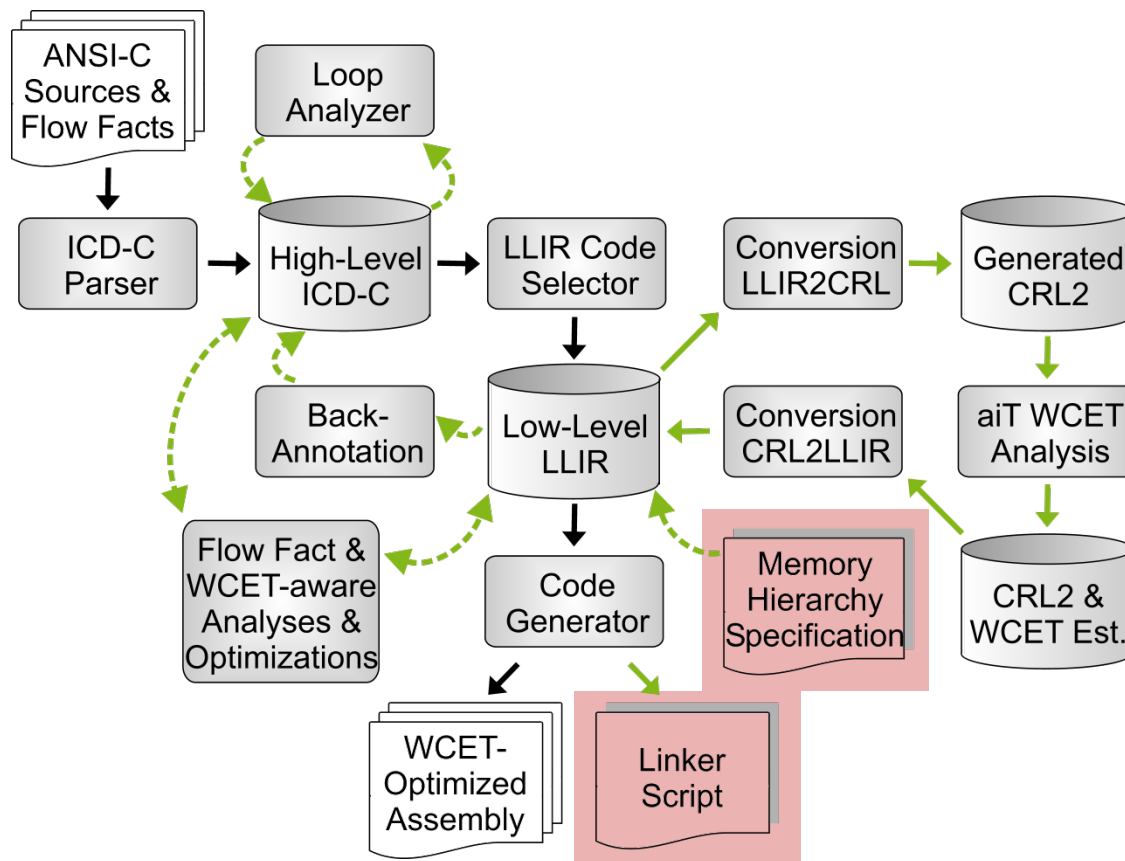
WCC – Der WCET-aware C Compiler (5)



Memory Hierarchy

- Speicher-Regionen, Startadresse, Größe, Zugriffsgeschwindigkeit, Verwendbarkeit (Code, Daten, les-/schreibbar, ...)
- SPM-Allokationen benötigen ebenfalls diese Information zur Optimierung

WCC – Der WCET-aware C Compiler (6)



Memory Hierarchy

- WCC entscheidet über Speicher-Layout von Code & Daten, produziert aber keinen Binärcode
- Linker muss Binärcode exakt gemäß WCC Speicher-Layout produzieren
- WCC: Automatische Generierung eines Linker-Skripts

[<http://ls12-www.cs.tu-dortmund.de/research/activities/wcc>]

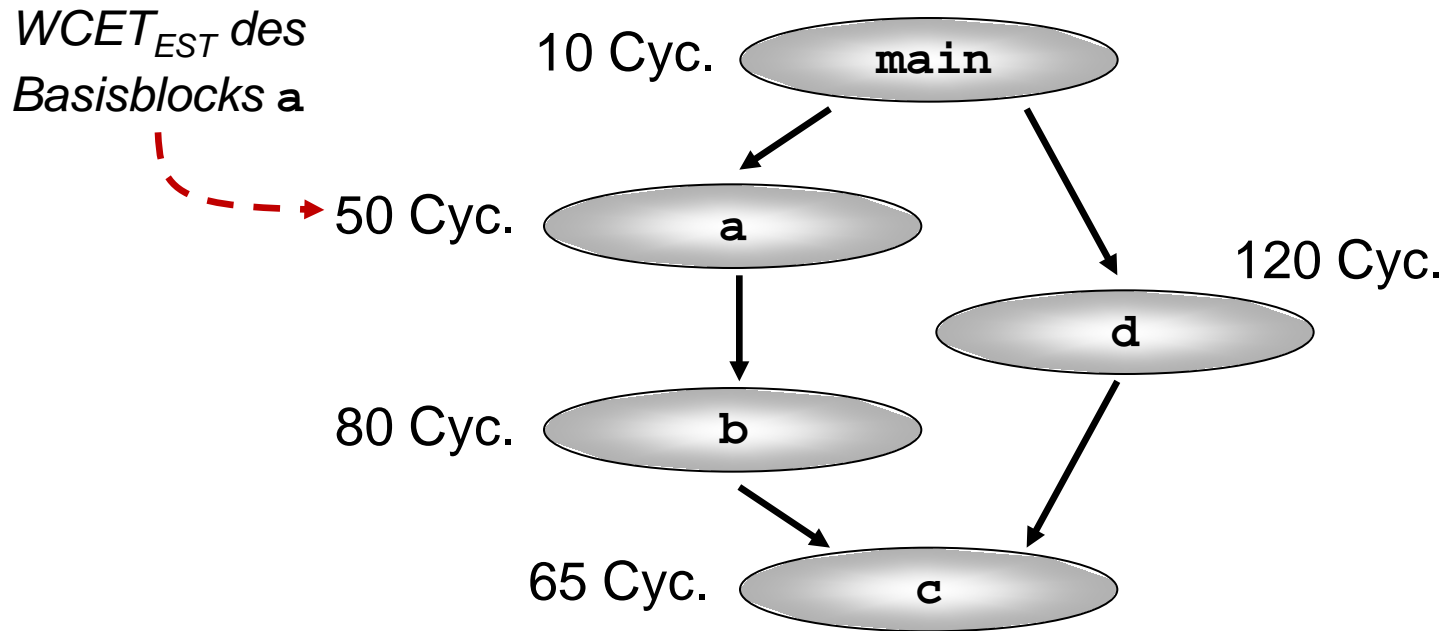
Problematik der $WCET_{EST}$ -Minimierung

Der *Worst-Case Execution Path (WCEP)*

- $WCET$ eines Programms = Länge des längsten Ausführungspfades des Programms (WCEP)
- $WCET_{EST}$ -Minimierung: Optimierung ausschließlich derjenigen Teile des Programms, die auf WCEP liegen
- ☞ Code-Optimierung abseits des WCEP bringt keine Verbesserung
- ☞ Optimierungen zur $WCET_{EST}$ -Minimierung brauchen Detailwissen über WCEP!
- ☞ *WCET-Analyzer aiT liefert diese Detail-Informationen in Form von Ausführungshäufigkeiten von CFG-Kanten.*

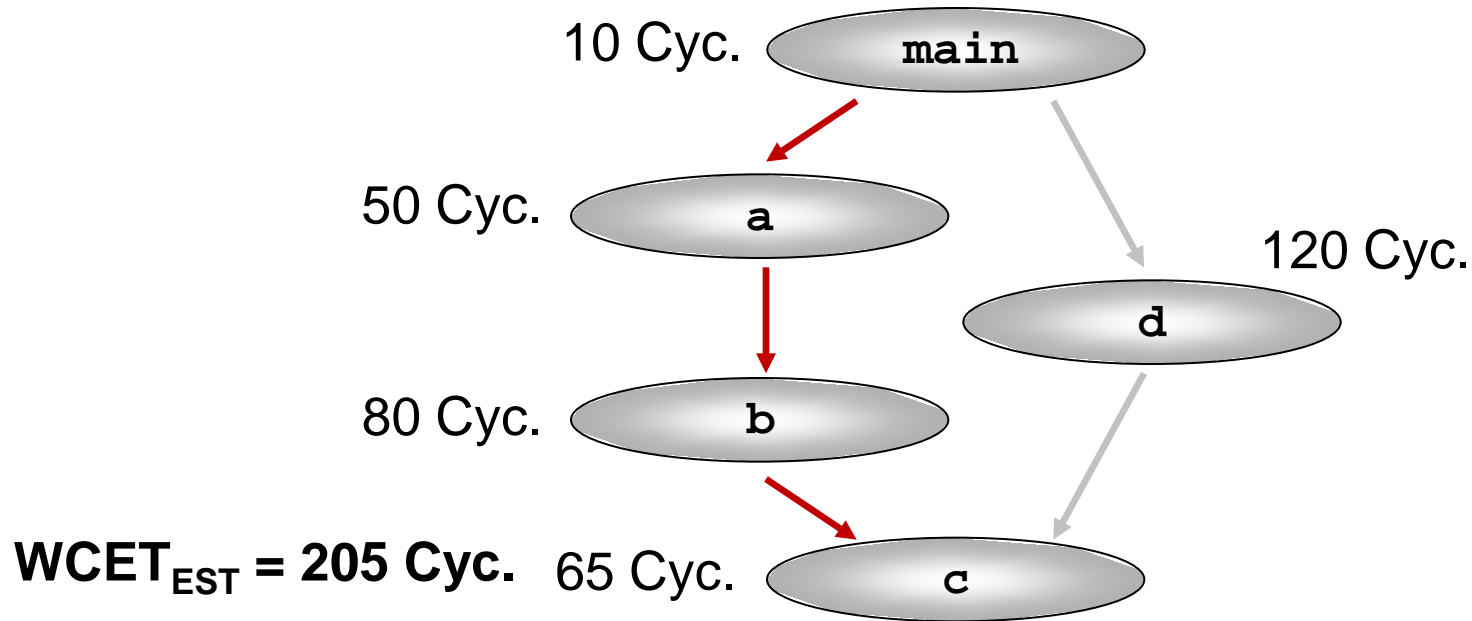
Jedoch...

Instabilität des WCET (1)



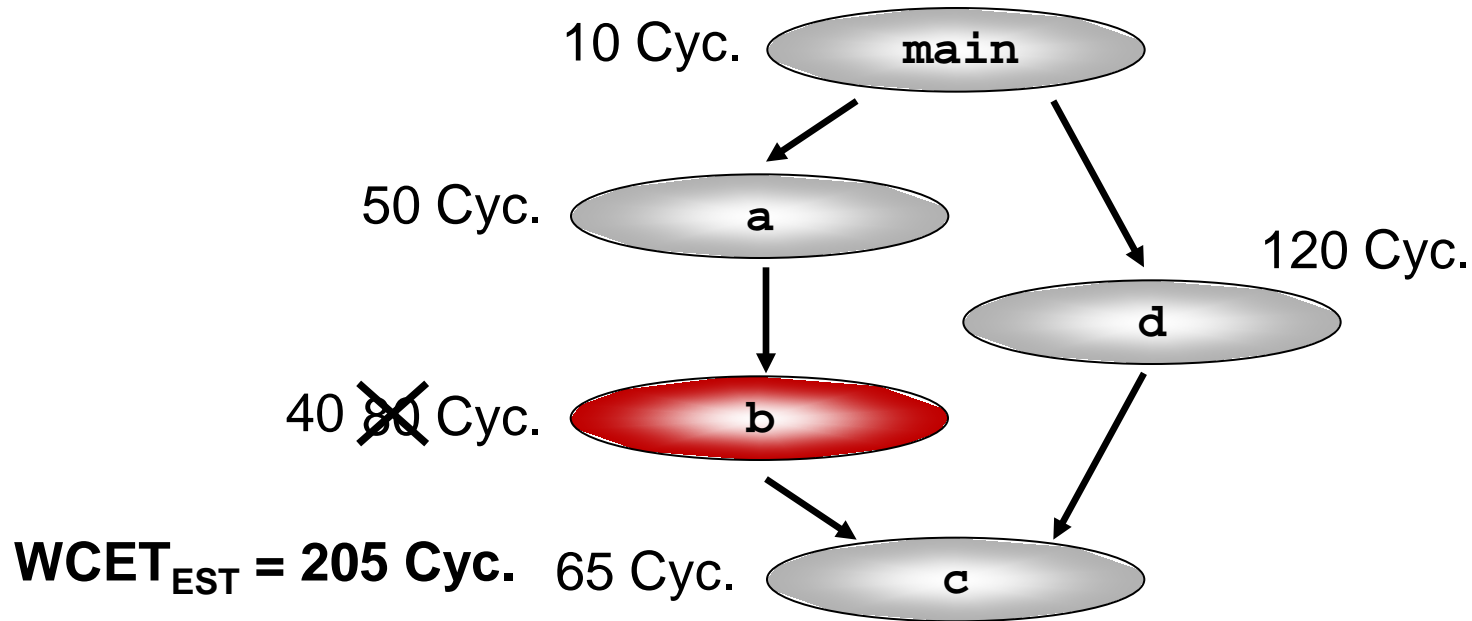
- Beispiel: Einfacher CFG mit 5 Basisblöcken

Instabilität des WCEP (2)



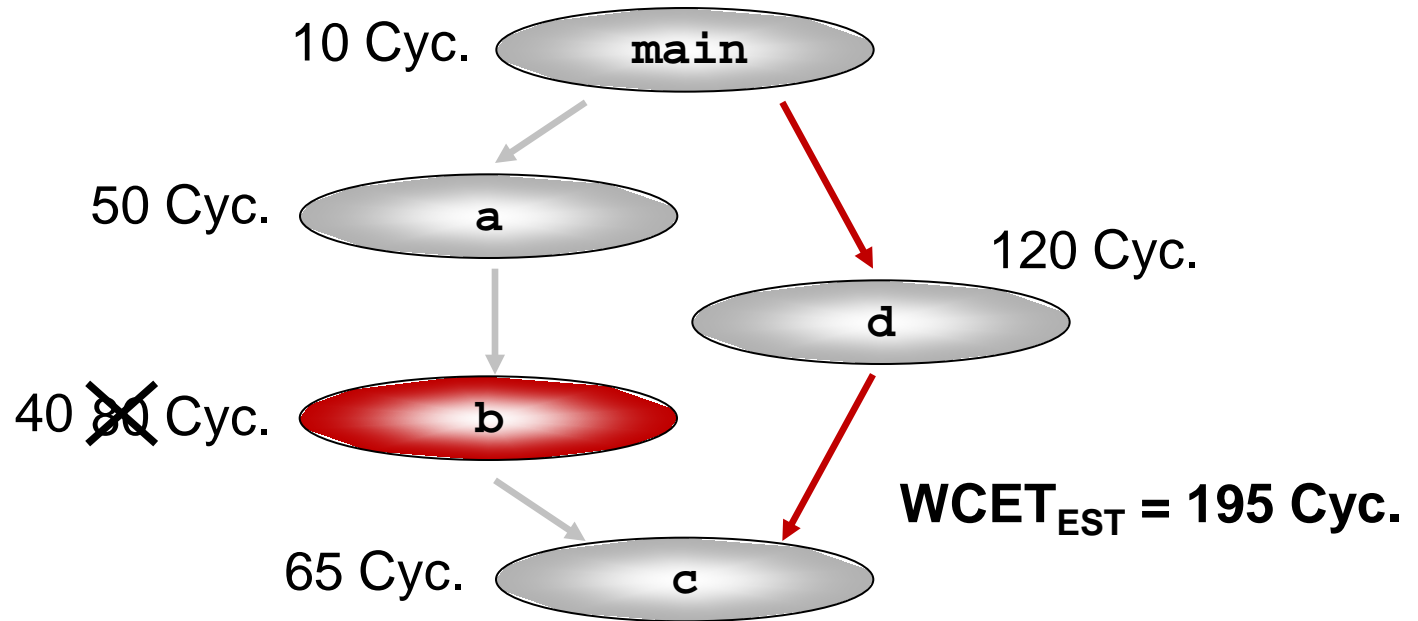
- Initialer WCEP: **main**, **a**, **b**, **c**
- WCEP-Länge = WCET_{EST}: 205
- Im folgenden: Optimierung von **b**

Instabilität des WCEP (3)



- Initialer WCEP: **main, a, b, c**
- WCEP-Länge = $WCET_{EST}$: 205
- Im folgenden: Optimierung von **b**

Instabilität des WCEP (4)



- Neuer WCEP: **main, d, c**
- Neue WCET_{EST}: 195
- ☞ **WCEP ist wegen Optimierung umgeschlagen!**

Konsequenzen für Optimierungen

Optimierungen zur $WCET_{EST}$ -Minimierung ...

- ... müssen immer berücksichtigen, dass sich der WCEP nach jeder Entscheidung, die eine Optimierung trifft, ändern kann.
 - ... sollten ihre Entscheidungen, wo was zu optimieren ist, nicht nur aufgrund lokaler Informationen treffen, sondern sollten stets die globalen Auswirkungen einer Entscheidung berücksichtigen.
(Die Optimierung von \mathfrak{b} im vorherigen Beispiel führt lokal zu einer Reduktion der $WCET_{EST}$ von \mathfrak{b} um 40 Zyklen. Global werden aber nur 10 Zyklen eingespart!)
- ☞ Herausforderung: Entwurf neuartiger Optimierungen für den WCC, die obigen Anforderungen gerecht werden und dabei stets den ganzen CFG mit dem jeweiligen WCEP betrachten.**

Inhalte des Kapitels

9. Compiler zur WCET_{EST}-Minimierung

- Einführung
 - Integration eines WCET-Zeitmodells in einen Compiler
 - Herausforderungen bei der WCET-Optimierung
- *Procedure Cloning & Positioning*
 - WCET-bewusstes *Procedure Cloning*
 - *Procedure Positioning* zur Reduktion von *Cache Misses*
- Register-Allokation
 - Problem der Standard Graph-Färbung
 - WCET-bewusste Graph-Färbung
- *Scratchpad*-Allokation von Daten und Code
 - Allokation von globalen Daten
 - Allokation von Basisblöcken

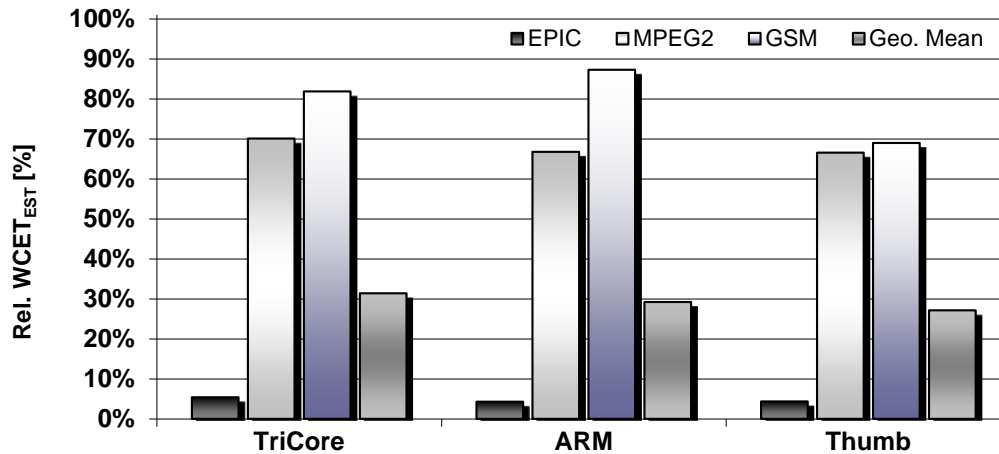
Wieso *Procedure Cloning* und $WCET_{EST}$?

Motivation (☞ siehe Kapitel 5)

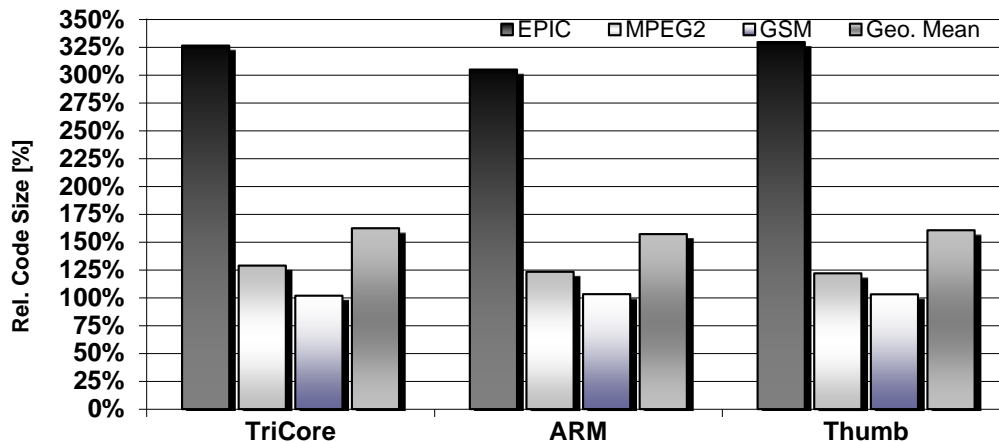
- Häufiges Vorkommen von *general-purpose* Funktionen in *special-purpose* Kontexten in Eingebetteter Software
- Gerade Schleifengrenzen werden sehr oft durch Funktionsparameter gesteuert
- Gerade Schleifengrenzen sind kritisch für eine präzise WCET-Analyse
- *Procedure Cloning* ermöglicht hochgradig präzise Annotation von Schleifengrenzen

[P. Lokuciejewski, *Influence of Procedure Cloning on WCET Prediction*, CODES+ISSS, Salzburg, 2007]

Ergebnisse nach Standard-Cloning



- WCET_{EST}⁻ Verbesserungen von 13% bis zu 95%!



- Code-Vergrößerungen von 2% bis zu 325%!



Hauptprobleme des Standard-Cloning

- $WCET_{EST}$ eines Programms entspricht der Länge des WCEP
- Standard-Optimierung *Procedure Cloning* hat keine Kenntnis des WCEP
- Eigenschaften von Funktionen, die $WCET_{EST}$ -Reduktion ermöglichen (parameterabhängige Schleifen) werden durch Standard-Optimierung nicht berücksichtigt
- ☞ Evtl. *Cloning* von Funktionen, die nicht auf WCEP liegen
- ☞ Evtl. *Cloning* von Funktionen, die nicht zur Verbesserung der $WCET_{EST}$ beitragen
- ☞ Unnötige Code-Vergrößerung ohne irgend eine $WCET_{EST}$ -Reduktion

WCET-bewusstes Cloning (1)

Gegeben

- Zu optimierendes Programm P , gegeben in einer HIR
- *Float-Zahl* $maxFactor$, die max. Code-Vergrößerung angibt

Initialisierung

$maxCodeSize = getCodeSize(P) * maxFactor$,

Phase 1 – Bestimmung des WCEP

Führe WCET-Analyse von P durch;

Bestimme Menge F aller originalen Funktionen auf dem WCEP von P ;

$wcet_{orig} = getWCET(P)$;

$cs_{orig} = getCodeSize(P)$;

WCET-bewusstes Cloning (2)

Phase 2 – Ermittlung der $WCET_{EST}$ -Daten für Funktionen

for (*<alle Funktionen $f \in F$ >*)

if (*<f wird mit Konstanten als Parameter p aufgerufen> &&*

(<p dient als Schleifengrenze> ||

<p wird in Bedingung von If-Statement genutzt> ||

<p ist Argument in Funktionsaufruf innerhalb von f>))

// Cloning von f u.U. vorteilhaft bzgl. $WCET_{EST}$

HIR $P' = P.copy()$;

doCloning(P', f); *// Führe probeweises Cloning von f aus*

updateLoopBounds(P', f);

deleteRedundantIfStmts(P', f);

Führe WCET-Analyse von P' durch;

$wcet_f = getWCET(P')$;

$cs_f = getCodeSize(P')$;

WCET-bewusstes Cloning (3)

Phase 3 – Ermittlung der Funktion mit größtem Profit

for (*<alle Funktionen $f \in F$ >*)

$$profit_f = (wcet_{orig} - wcet_f) / (cs_f - cs_{orig});$$

Bestimme Funktion f_{opt} mit maximalem $profit_f$ UND

$$cs_f \leq maxCodeSize;$$

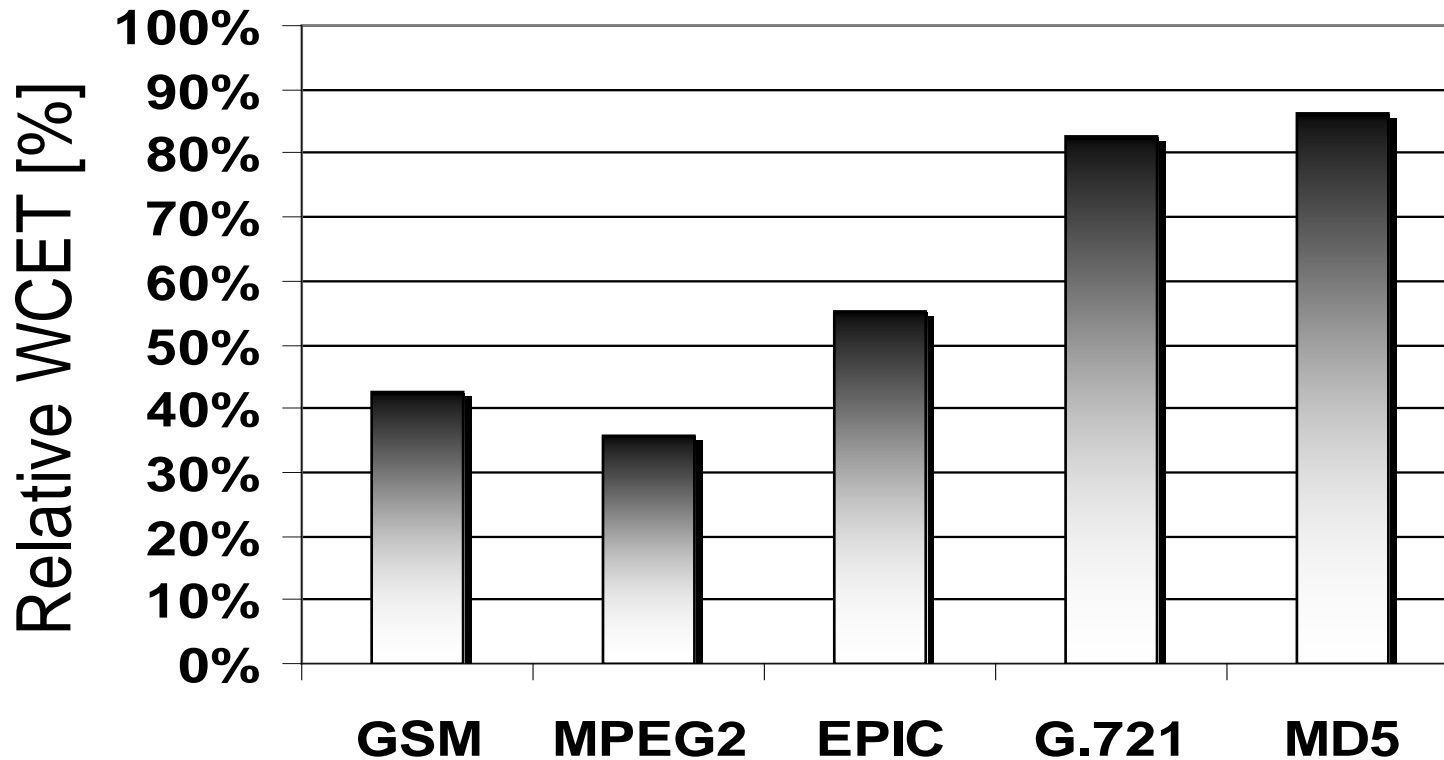
if (*< f_{opt} existiert>*)

doCloning(P, f_{opt});

goto *<Phase 1>*;

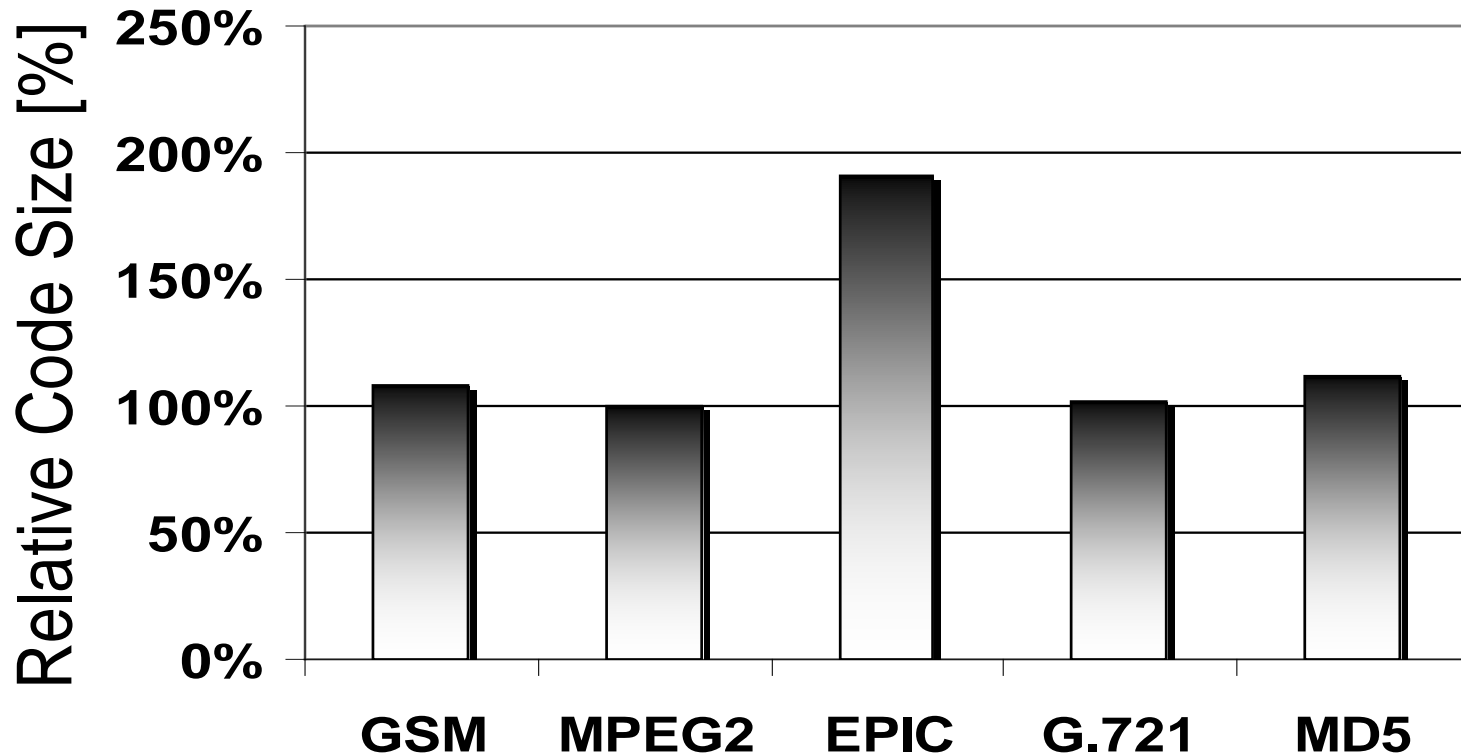
[P. Lokuciejewski, WCET-Driven, Code-Size Critical Procedure Cloning, SCOPES, München, 2008]

Relative WCET_{EST} nach WCET-bewusstem Cloning



- 100% = WCET_{EST} ohne *Procedure Cloning*
- WCET_{EST}-Verbesserungen von 14% bis zu 64%!

Relative Codegrößen nach WCET-bewusstem *Cloning*

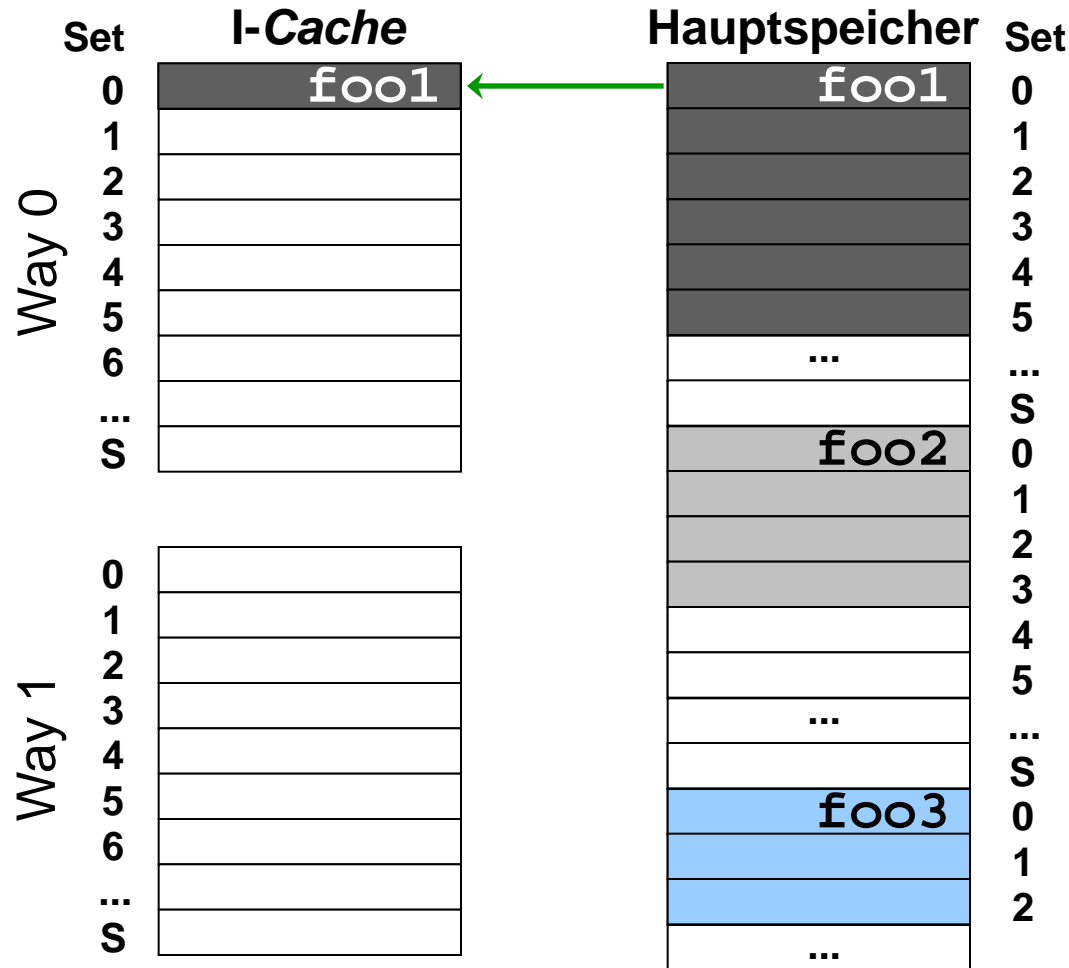


- 100% = Codegröße ohne *Procedure Cloning*
- Code-Vergrößerung von EPIC: 190% statt bisher 300%

Verdrängung von Code aus Befehls-Caches

- *Caches* nutzen Lokalität von Speicherzugriffen aus
 - *Räumliche Lokalität*: Speicherzugriffe zielen auf einen räumlich kleinen Speicherbereich, der im *Cache* vorgehalten werden sollte
 - *Zeitliche Lokalität*: In einer kurzen Zeitspanne wird oft auf räumlich verstreute Speicherbereiche zugegriffen, so dass diese Bereiche im *Cache* eingelagert sein sollten
- Schlechte Anordnung von Code (oder Daten) im Speicher kann bei zeitlicher Lokalität aber zu schlechtem *Cache*-Verhalten führen:
- Speicherbereiche mit hoher zeitlicher Lokalität können sich bei ungünstiger Anordnung wiederholt gegenseitig aus dem *Cache* verdrängen, was zu vielen *Cache Misses*, sog. *conflict misses*, führt.

Beispiel für Verdrängung aus Befehls-Cache (1)

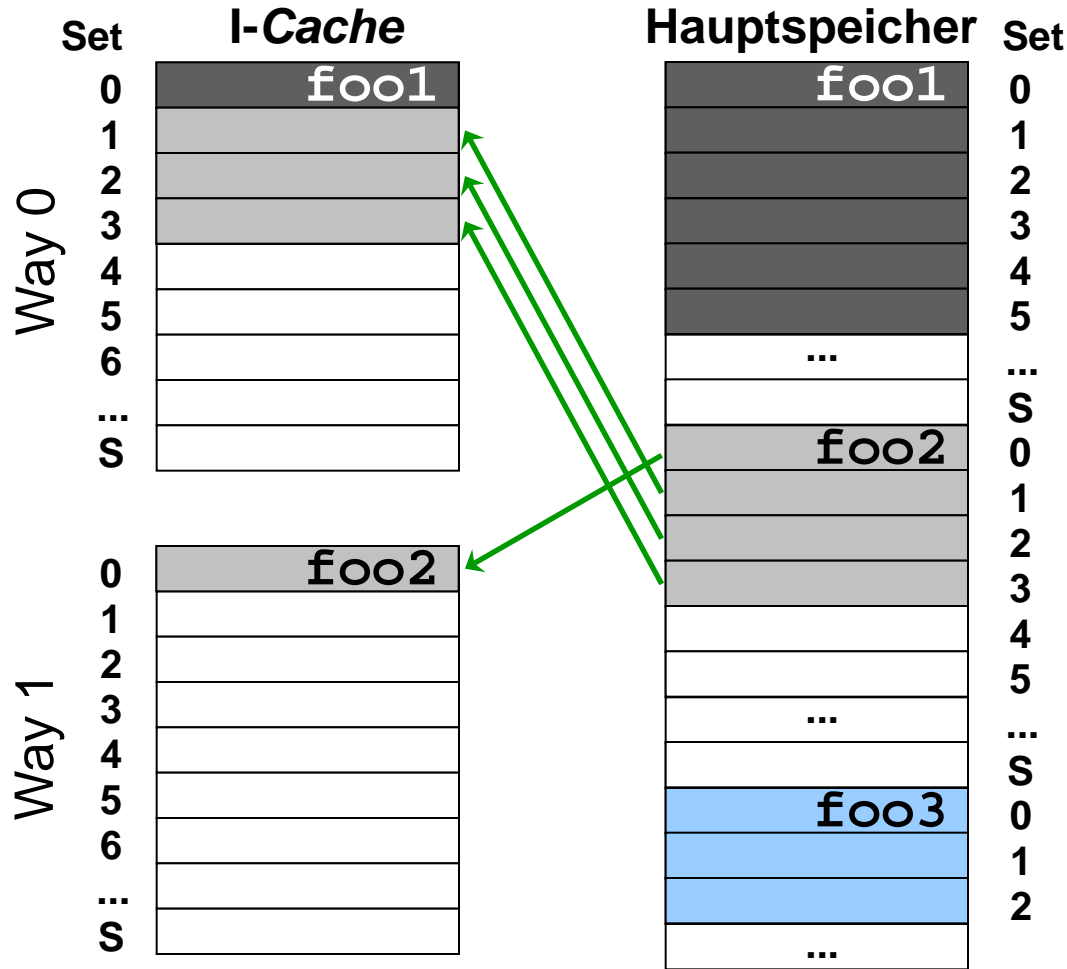


```

void foo1()
{
    for (i=0; i<n; i++) {
        foo2();
        foo3();
        // More Code
    }
}
    
```

Hier: 2-fach assoziativer I-Cache

Beispiel für Verdrängung aus Befehls-Cache (2)

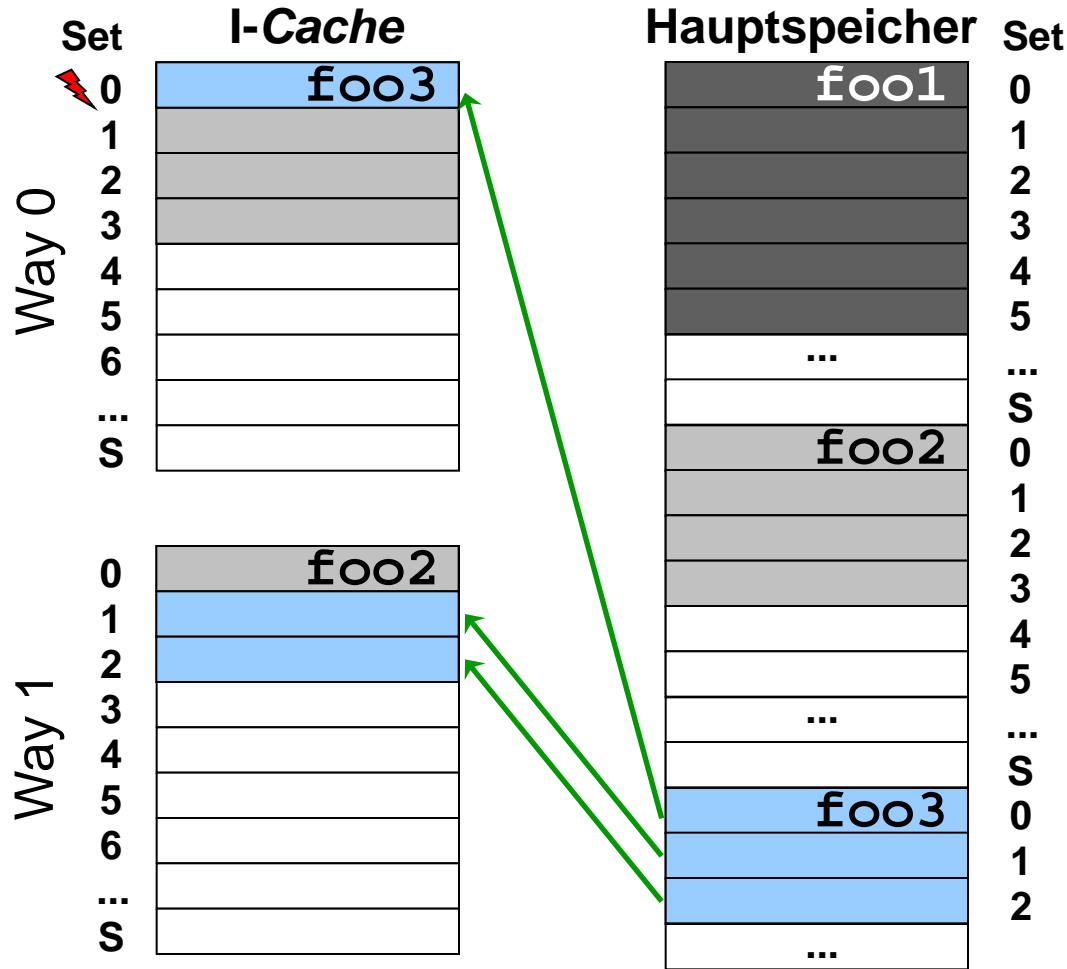


```

void foo1()
{
    for (i=0; i<n; i++) {
        foo2();
        foo3();
        // More Code
    }
}
    
```

Hier: 2-fach assoziativer I-Cache

Beispiel für Verdrängung aus Befehls-Cache (3)

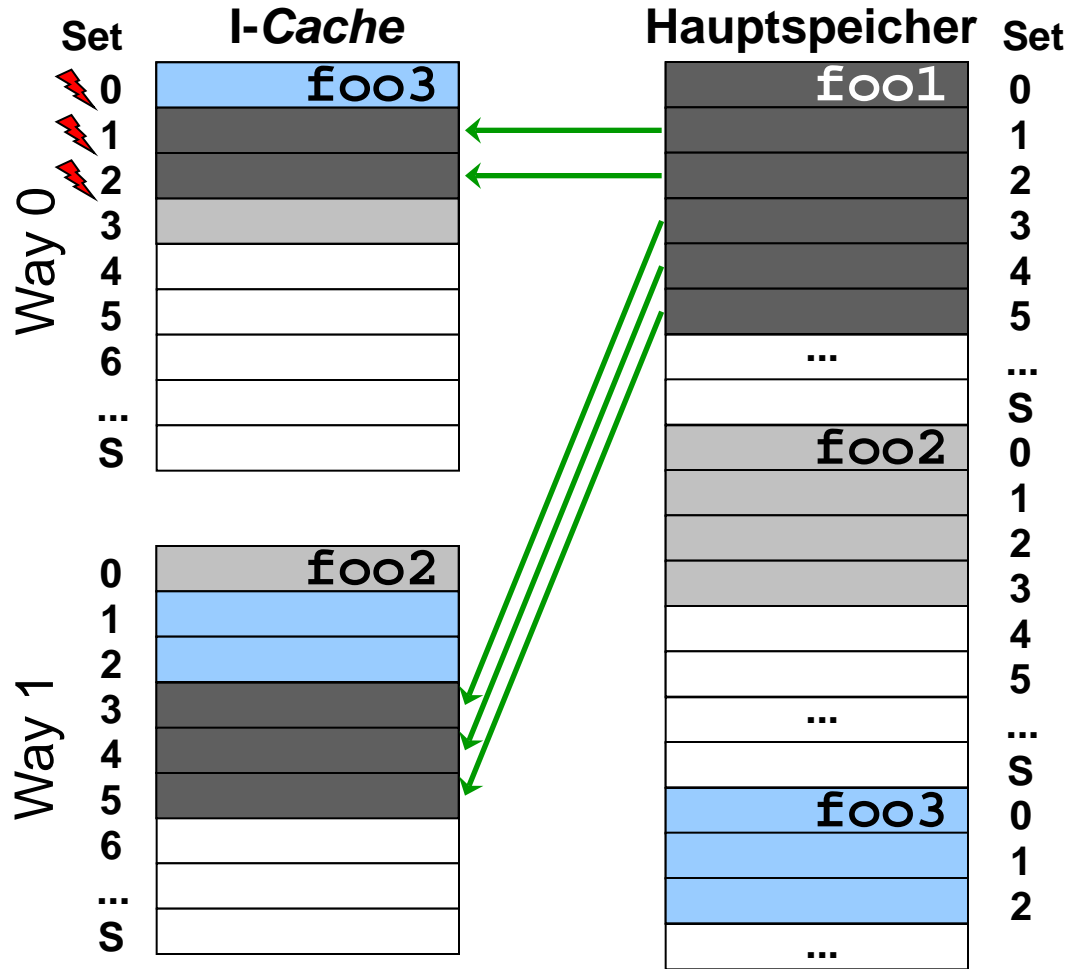


```

void foo1()
{
    for (i=0; i<n; i++) {
        foo2();
        foo3();
        // More Code
    }
}
    
```

Hier: 2-fach assoziativer I-Cache

Beispiel für Verdrängung aus Befehls-Cache (4)

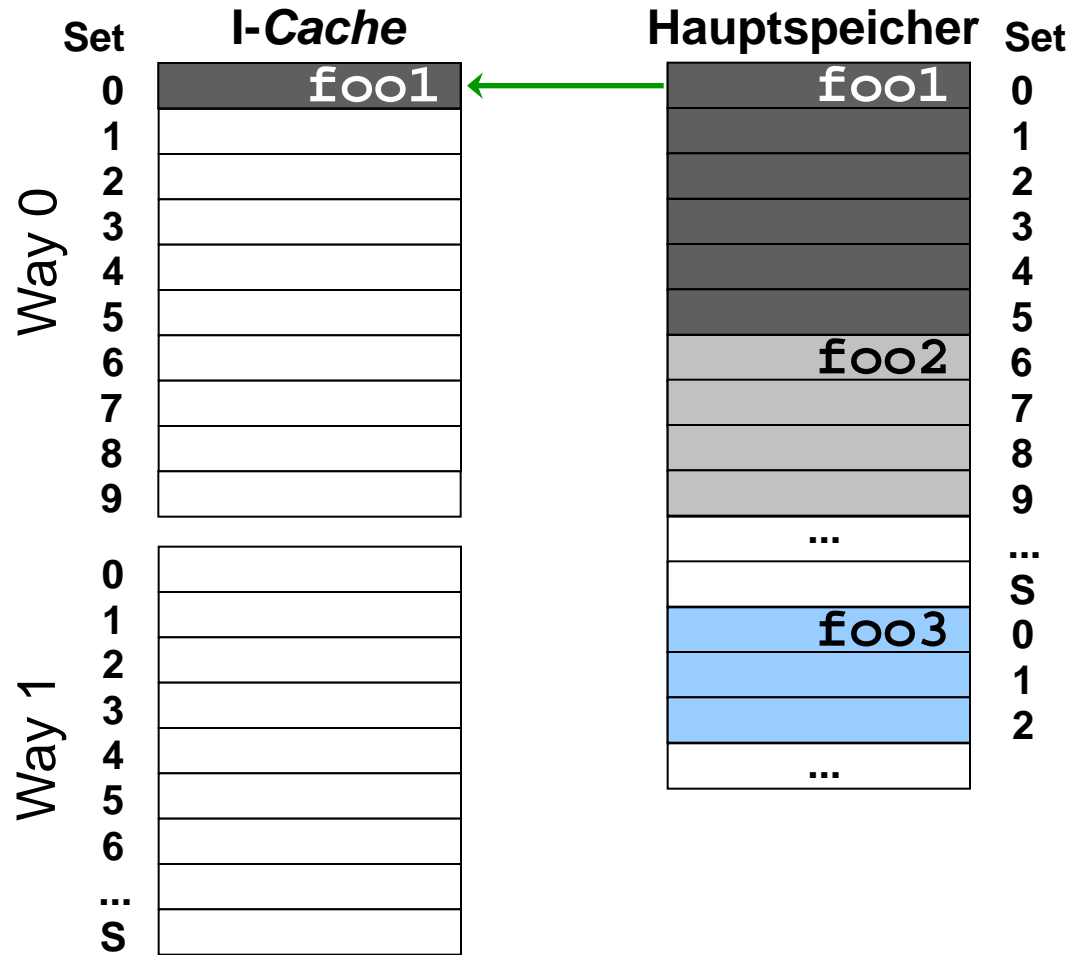


```

void foo1()
{
    for (i=0; i<n; i++) {
        foo2();
        foo3();
        // More Code
    }
}
    
```

Hier: 2-fach assoziativer I-Cache

Eine bessere Anordnung ohne Verdrängungen (1)

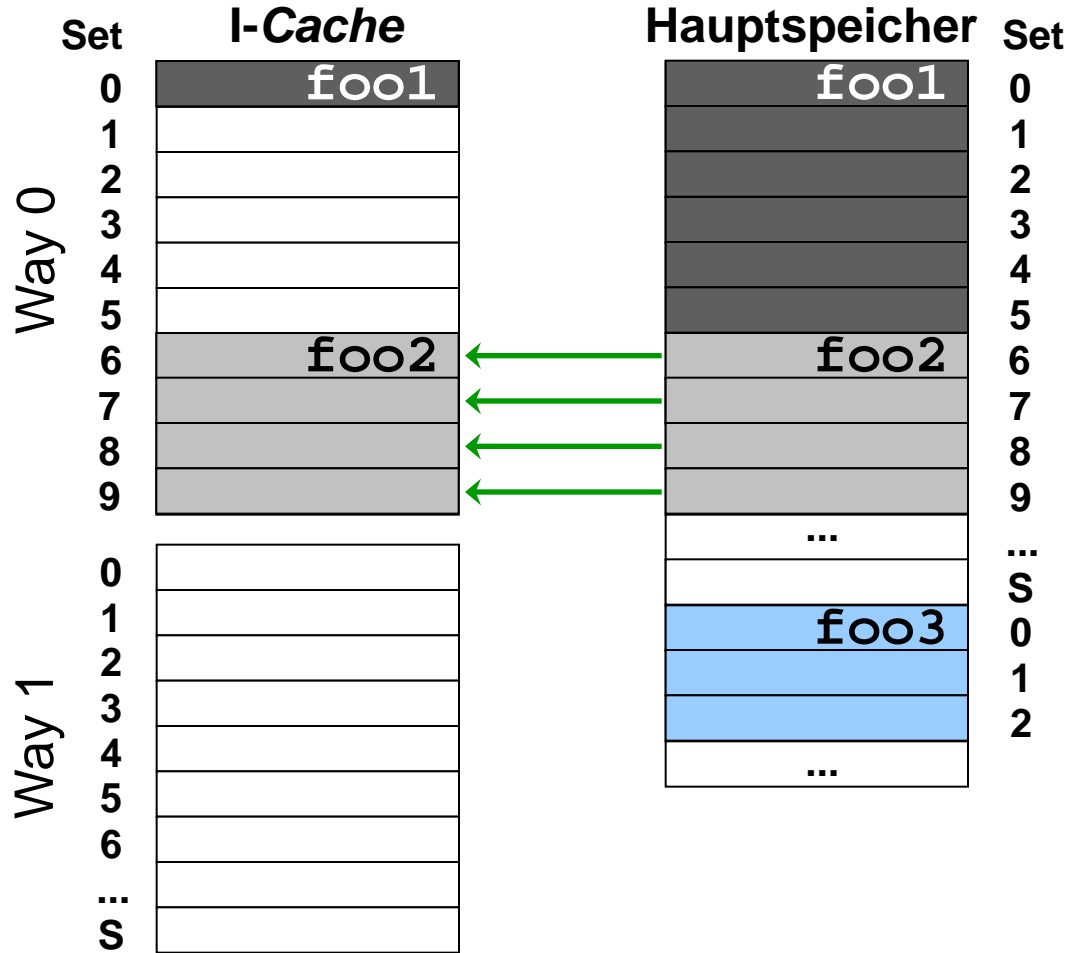


```

void foo1()
{
    for (i=0; i<n; i++) {
        foo2();
        foo3();
        // More Code
    }
}
    
```

Hier: 2-fach assoziativer I-Cache

Eine bessere Anordnung ohne Verdrängungen (2)



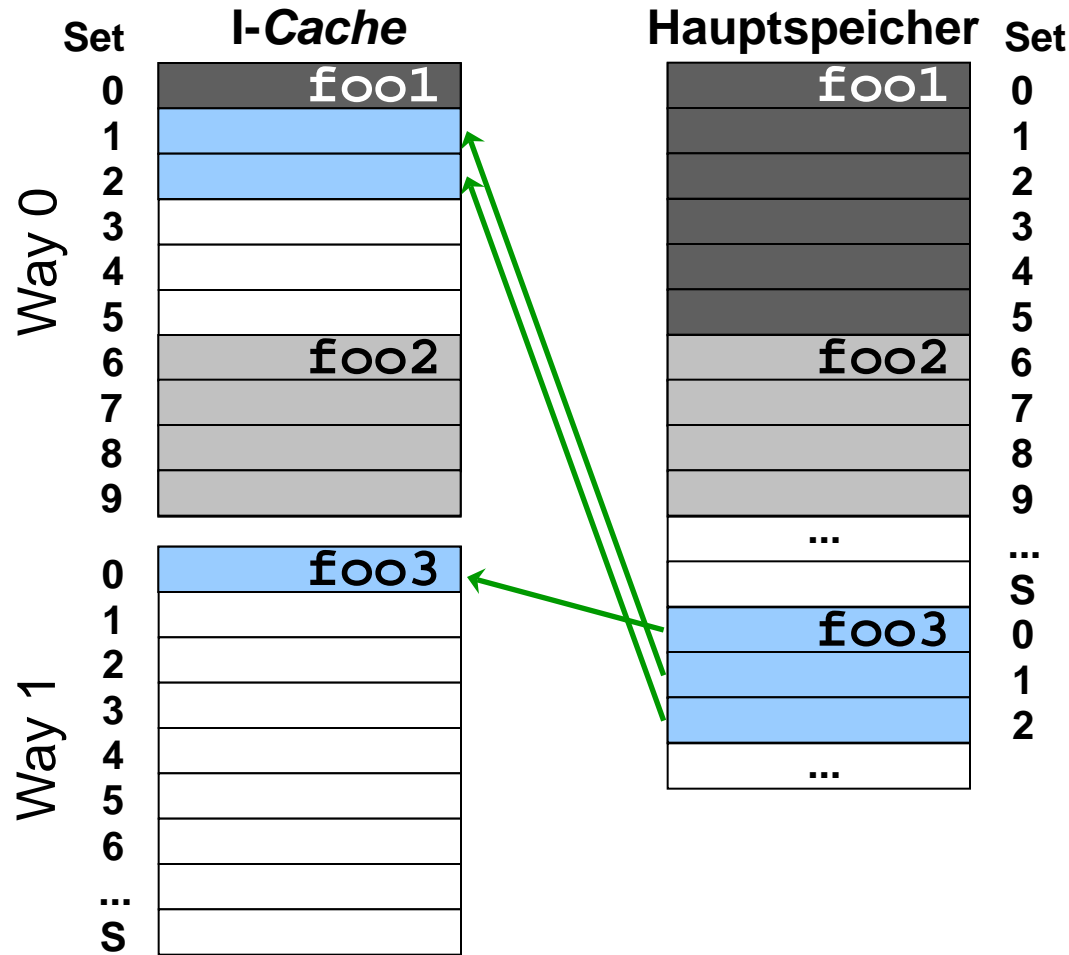
```

void foo1()
{
    for (i=0; i<n; i++) {
        foo2();
        foo3();
        // More Code
    }
}
    
```

A green arrow points from the code block to the diagram, indicating that the code is being executed in the configuration shown.

Hier: 2-fach assoziativer I-Cache

Eine bessere Anordnung ohne Verdrängungen (3)

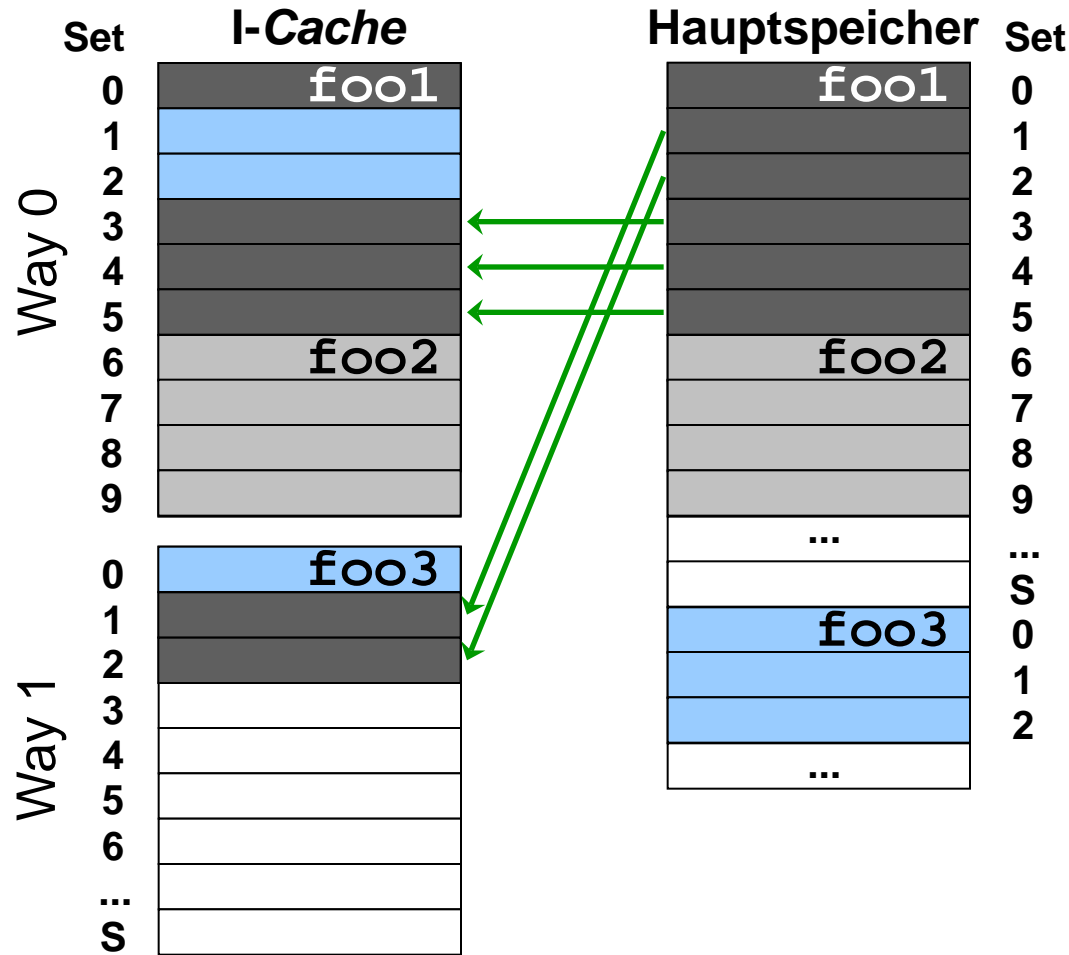


```

void foo1()
{
    for (i=0; i<n; i++) {
        foo2();
        foo3();
        // More Code
    }
}
    
```

Hier: 2-fach assoziativer I-Cache

Eine bessere Anordnung ohne Verdrängungen (4)



```

void foo1()
{
    for (i=0; i<n; i++) {
        foo2();
        foo3();
        // More Code
    }
}
    
```

A green arrow points from the code block to the text below.

Hier: 2-fach assoziativer I-Cache

Procedure Positioning mit Call Graph

Definition (*Call Graph*):

- Der *Call Graph* ist ein ungerichteter gewichteter Graph $G = (V, E, w)$ mit
- Knotenmenge V enthält Knoten v pro Funktion eines Programms
 - Kantenmenge E enthält Kante $e = \{v, w\}$, wenn Funktion v eine andere Funktion w aufruft
 - Jede Kante $e = \{v, w\}$ ist mit der Häufigkeit $w(e)$ gewichtet, mit der sich v und w gegenseitig aufrufen

Idee eines WCET-bewussten *Procedure Positioning*

- Erzeuge *Call Graph* mit *worst-case* Aufrufhäufigkeiten gemäß statischer WCET-Analyse als Kantengewichten
- Platziere je zwei Funktionen mit hohem Kantengewicht im Speicher unmittelbar hintereinander

WCET-bewusstes *Procedure Positioning* (1)

Gegeben

- Zu optimierendes Programm P , gegeben in einer LIR

Initialisierung

Führe WCET-Analyse von P durch;

Erzeuge *Call Graph* $G_{orig} = (V_{orig}, E_{orig}, w_{orig})$ für P anhand von WCET-Daten;

Erzeuge *Call Graph* $G_{new} = (V_{new}, E_{new}, w_{new}) = G_{orig}.copy();$

[*P. Lokuciejewski et al., WCET-driven Cache-based Procedure Positioning Optimizations, ECRTS, Prag, 2008*]

WCET-bewusstes *Procedure Positioning* (2)

Optimierungsschleife

```

do
     $wcet_{current} = \text{getWCET}( P );$ 
    for ( <alle Kanten  $e = \{v, w\} \in E_{new}$ ,  

        absteigend nach  $w_{new}$  sortiert> )
        if (  $\text{Positioning}( e, G_{new}, G_{orig}, P, wcet_{current} ) == \text{true} )$ 
            // Wenn Platzierung von Knoten v und w hintereinander zu
            //  $WCET_{EST}$ -Reduktion führt, breche for-Schleife ab, fahre mit
            // do-while Schleife fort.
            break;
    while ( <P wurde in letzter Iteration modifiziert> );

```

WCET-bewusstes *Procedure Positioning* (3)

Positioning($e = \{v, w\} \in E_{new}, G_{new}, G_{orig}, P, wcet_{current}$)

Erzeuge LIR P' , so dass v und w hintereinander im Speicher platziert sind;

Führe WCET-Analyse von P' durch;

$wcet_{new} = \text{getWCET}(P');$

if ($wcet_{new} < wcet_{current}$)

$P = P'$;

Verschmelze Knoten v und w in G_{new} ;

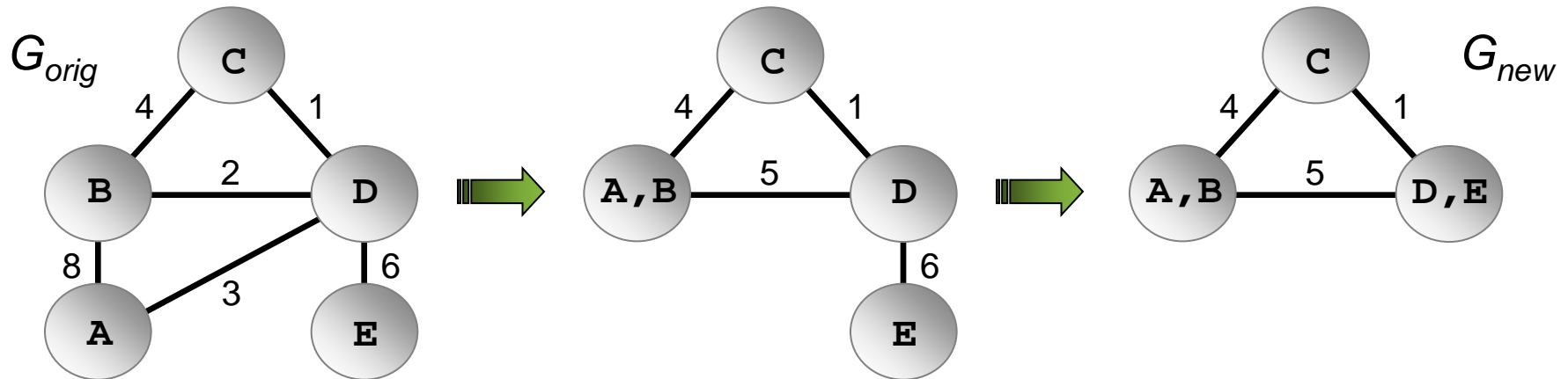
Aktualisiere w_{new} gemäß neuer WCET-Daten;

return true;

else

return false;

Verschmelzen von Knoten



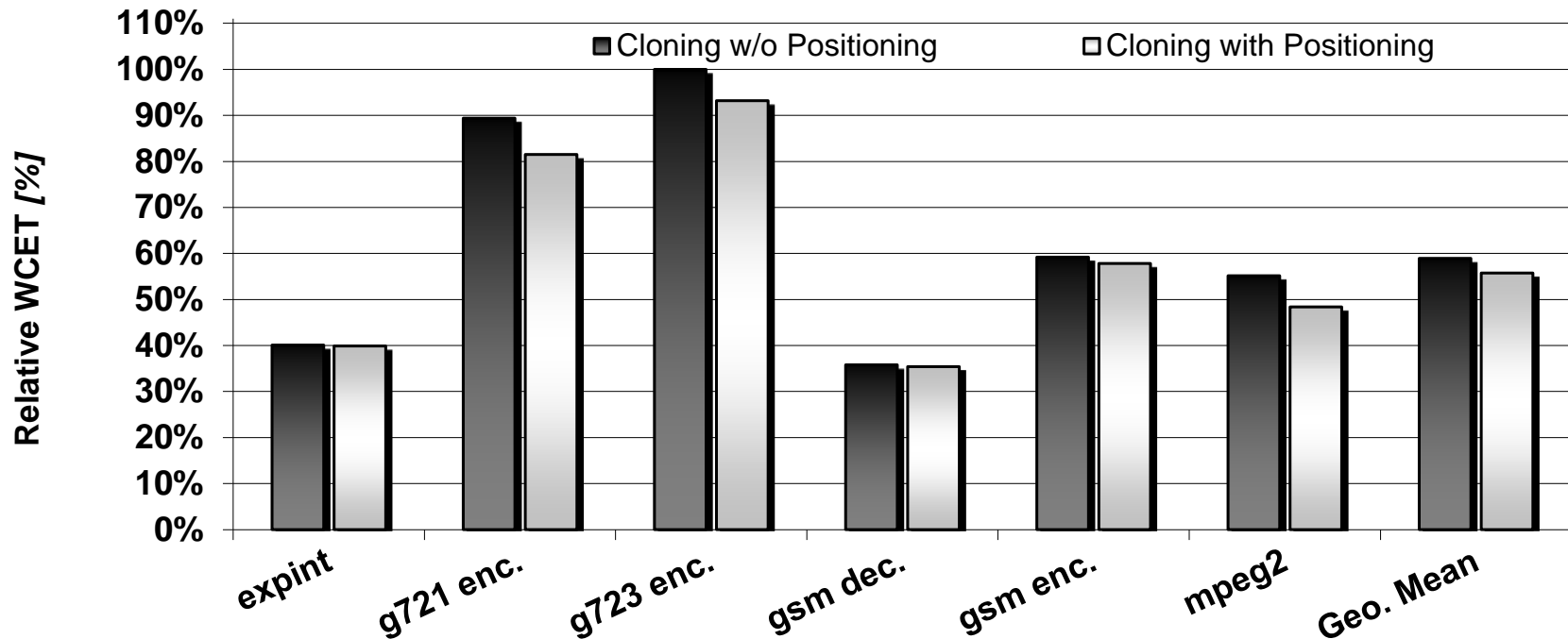
Platzierung verschmolzener Knoten hintereinander im Speicher

- Problem: Wie sind als nächstes (A, B) und (D, E) zu platzieren?
- G_{orig} zeigt, dass A und D hintereinander liegen sollten
- ☞ Beste Platzierung ist (B, A, D, E).
- ☞ Aus diesem Grund braucht *Positioning*-Algorithmus G_{orig} !

Eigenschaften

- Algorithmus geht *greedy* vor und platziert jeweils zwei Knoten des aktuellen Graphen G_{new} in einer Iteration hintereinander
- Hierbei werden stets die beiden Knoten betrachtet, die sich gemäß w_{new} am häufigsten gegenseitig aufrufen
- Instabile WCEPs werden vom *WCET-Positioning* betrachtet, da für jede Platzierung eine eigene WCET-Analyse durchgeführt und die Kantengewichte w_{new} anhand dieser neuen WCET-Daten aktualisiert werden
- Da WCET-bewusstes *Procedure Cloning* die neuen *Clones* stets nur an das Ende des Programms P hängt, ist es sehr sinnvoll, *WCET-Cloning* und *WCET-Positioning* miteinander zu kombinieren

Relative WCET_{EST} nach WCET-Cloning und Positioning



- 100% = WCET_{EST} ohne *Procedure Cloning* und *Positioning*
- I-Cache: 16kB, 2-fach mengenassoziativ, LRU-Ersetzung
- WCET-*Positioning* der *Clone*: zusätzliche WCET_{EST}-Reduktion um bis zu 7% gegenüber *Cloning* alleine

Vorsicht: Dieses Diagramm nicht mit Folie 30 vergleichen, da in Folie 30 I-Cache deaktiviert!

Zwischenfazit

Abgleich mit Konsequenzen für $WCET_{EST}$ -Optimierungen

Optimierungen zur $WCET_{EST}$ -Minimierung ...

– ... brauchen zwingend Detailwissen über den WCEP

👍 *$WCET$ -Cloning und $WCET$ -Positioning berücksichtigen WCEP*

– ... müssen immer berücksichtigen, dass sich der WCEP nach jeder Entscheidung, die eine Optimierung trifft, ändern kann

👍 *Beide aktualisieren WCEP nach jeder Codeveränderung*

– ... sollten ihre Entscheidungen, wo was zu optimieren ist, nicht nur aufgrund lokaler Informationen treffen, sondern sollten stets die globalen Auswirkungen einer Entscheidung berücksichtigen

👎 *$WCET$ -Cloning und $WCET$ -Positioning sind Greedy-Heuristiken, die nur lokale Daten pro Funktion betrachten*

Inhalte des Kapitels

9. Compiler zur WCET_{EST}-Minimierung

- Einführung
 - Integration eines WCET-Zeitmodells in einen Compiler
 - Herausforderungen bei der WCET-Optimierung
- *Procedure Cloning & Positioning*
 - WCET-bewusstes *Procedure Cloning*
 - *Procedure Positioning* zur Reduktion von *Cache Misses*
- Register-Allokation
 - Problem der Standard Graph-Färbung
 - WCET-bewusste Graph-Färbung
- *Scratchpad*-Allokation von Daten und Code
 - Allokation von globalen Daten
 - Allokation von Basisblöcken

Register-Allokation per Graph-Färbung

- 1. Initialisierung:** Erzeuge Interferenzgraphen $G = (V, E)$ mit $V = \{\text{virtuelle Register}\} \cup \{K \text{ physikalische Prozessor-Register}\}$, $e = (v, w) \in E \Leftrightarrow$ VREGs v und w sollen nie das selbe PHREG teilen, i.e. v und w interferieren
- 2. Vereinfachung:** Entferne alle Knoten $v \in V$ mit $\text{Grad} < K$
- 3. Spilling:** Nach Schritt 2 hat jeder Knoten von G $\text{Grad} \geq K$. Wähle ein $v \in V$; markiere v als *potentiellen Spill*; entferne v aus G
- 4. Wiederhole** Schritte 2 und 3 bis $G = \emptyset$
- 5. Färbung:** Füge Knoten v in umgekehrter Folge wieder in G ein; gibt es freie Farbe k_v , färbe v ; sonst markiere v als *echten Spill*
- 6. Füge Spill-Code** vor/nach echten Spills ein; gehe zu 1 falls $\#\text{VREGS} > 0$

[A. W. Appel, *Modern compiler implementation in C*, 2004]

Problem der Standard Graph-Färbung

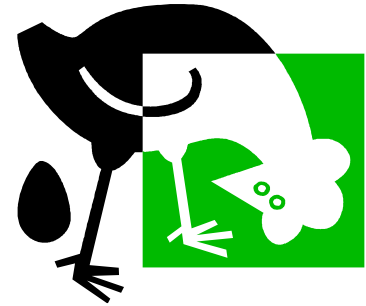
3. **Spilling:** Nach Schritt 2 hat jeder Knoten von G $\text{Grad} \geq K$. Wähle ein $v \in V$; markiere v als *potentiellen Spill*; entferne v aus G

Welchen Knoten v als potenziellen Spill wählen?

Übliche Implementierungen wählen heuristisch ...

- ... einen Knoten gemäß Reihenfolge des Vorkommens in interner Compiler-Zwischendarstellung,
- ... den Knoten mit höchstem Grad im Interferenzgraph,
- ... einen Knoten mit hohem Grad, mit vielen Verwendungen, in innerster Schleife, u.U. indem auf *Profiling* zurückgegriffen wird

 **Unkontrollierte Erzeugung von Spill-Code – möglicherweise entlang des WCEP, der die WCET bestimmt!**



Ein Henne-Ei-Problem

Eine Register-Allokation zur $WCET_{EST}$ -Minimierung ...

- ... benötigt WCET-Daten von statischer WCET-Analyse,
- ... kann aber keine WCET-Daten erhalten, da Code mit virtuellen Registern nicht analysierbar ist!

Ausweg

- Jedes VREG wird zu Beginn auf Laufzeit-*Stack* ausgelagert
 - ☞ Code hat schlechte Qualität, ist aber vollständig analysierbar
- Durchführung einer WCET-Analyse, Bestimmung des WCEP P
- Wende Standard Graph-Färbung auf alle VREGs desjenigen Basisblocks $b \in P$ mit den meisten Ausführungen von *Spill*-Code im *worst case* an
- Ermittle neuen WCEP

WCET-bewusste Graph-Färbung (1)

```
LLIR WCET_GC_RA( LLIR P )
{
    // Iteriere bis aktueller WCEP komplett allokiert.
    while ( true )
    {
        // Kopiere P, alle VREGs von P' werden auf Stack gespillt.
        LLIR P' = P.copy();
        P'.spillAllVREGs();

        // Ermittle WCEP für komplett gespillte LIR.
        set<basic_blocks> WCEP = computeWCEP( P' );

        // Enthält WCEP keine VREGs, breche Allokationsschleife ab.
        if ( getVREGs( WCEP ) ==  $\emptyset$  )
            break;
    }
}
```

WCET-bewusste Graph-Färbung (2)

```
// Bestimme den Block auf dem WCEP mit dem höchsten Produkt  
// von Worst-Case Ausführungshäufigkeit * Spill-Code.
```

```
basic_block b' = getMaxSpillCodeBlock( WCEP );  
basic_block b = getBlockOfOriginalP( b' );
```

```
// Bestimme alle VREGs dieses kritischen Blocks.  
list<virtualRegister> vregs = getVREGs( b );
```

```
// Sortiere VREGs nach #Vorkommen, Standard Graph-Färbung.  
vregs.sort( occurrences of VREG in b );  
traditionalGraphColoring( P, vregs );
```

```
}
```

```
// Wende Standard Graph-Färbung auf alle restlichen VREGs an.  
traditionalGraphColoring( P, getVREGs( P ) );  
return P;
```

```
}
```

Eigenschaften (1)

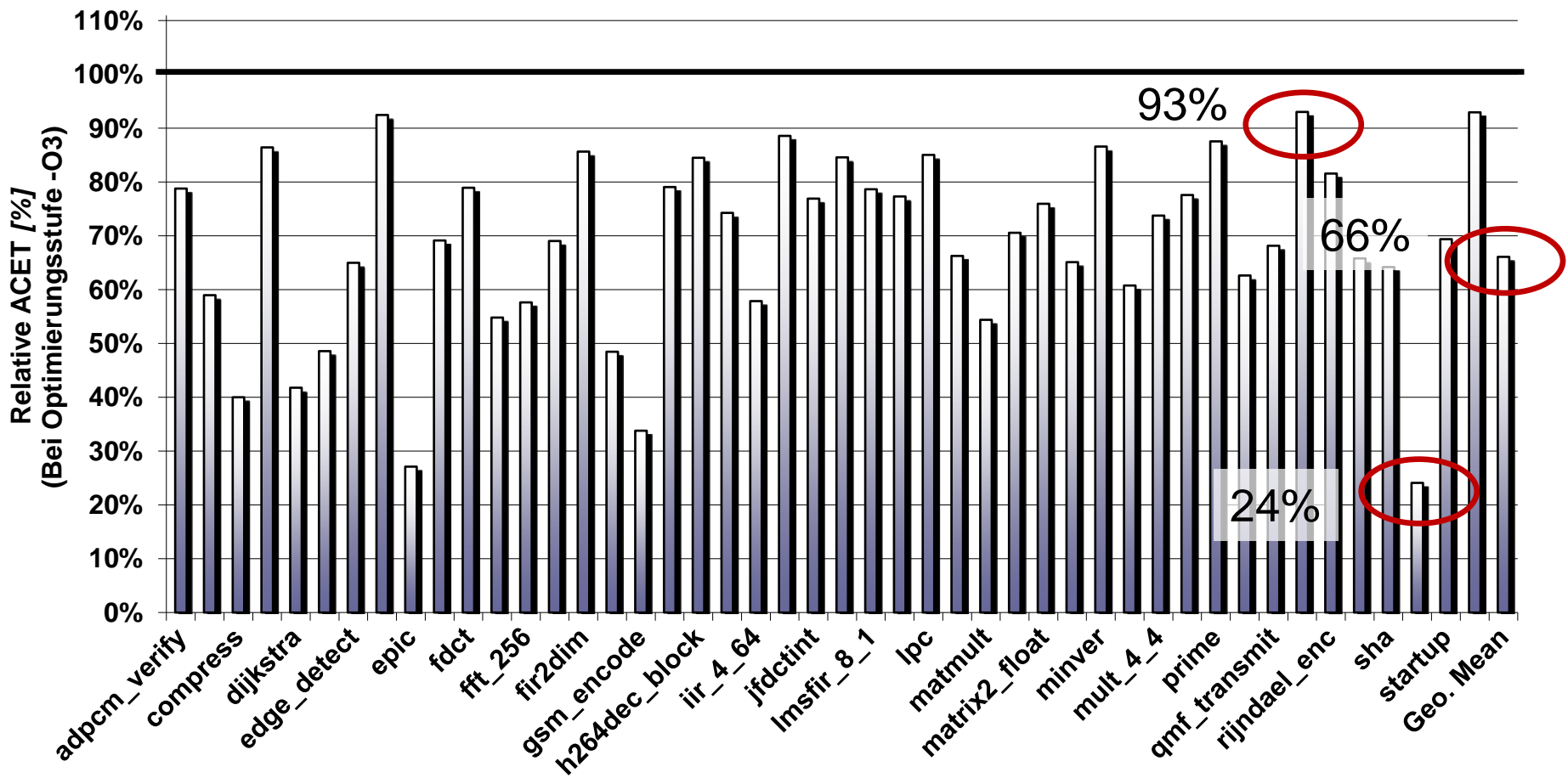
- Algorithmus arbeitet gleichzeitig mit zu allozierender LIR P und einer Kopie P' , die komplett gespilt ist, um WCET-Analyse zu ermöglichen
- Register-Allokation geschieht Basisblock-weise entlang des WCEP
- Nach Allokation eines Basisblocks wird WCEP in P' aktualisiert
- In einer Iteration des Algorithmus: Allokation desjenigen Basisblocks, der im *worst case* zur maximalen Ausführung von *Spill-Code* führt, d.h. der in P' viel *Spill-Code* enthält und sehr oft ausgeführt wird
- ☞ Die VREGs dieses kritischen Basisblocks b sollten nach Möglichkeit in PHREGs gehalten werden

Eigenschaften (2)

- *Spilling* von VREGs in b kann u.U. jedoch nicht vermieden werden. Wenn in b zu spillen ist, sollen diejenigen VREGs von b gespilt werden, die am seltensten in b vorkommen, da wenige Vorkommen wenig *Spill*-Code in b bedeuten
- Register-Allokation und evtl. *Spilling* von b wird durch Standard Graph-Färbung vorgenommen
- Nach Abbruch der Allokationsschleife ist WCEP komplett allokiert. Es kann aber noch VREGs in Blöcken abseits des WCEP geben
- ☞ Abschließende Standard Graph-Färbung, um diese restlichen VREGs zu allokiieren

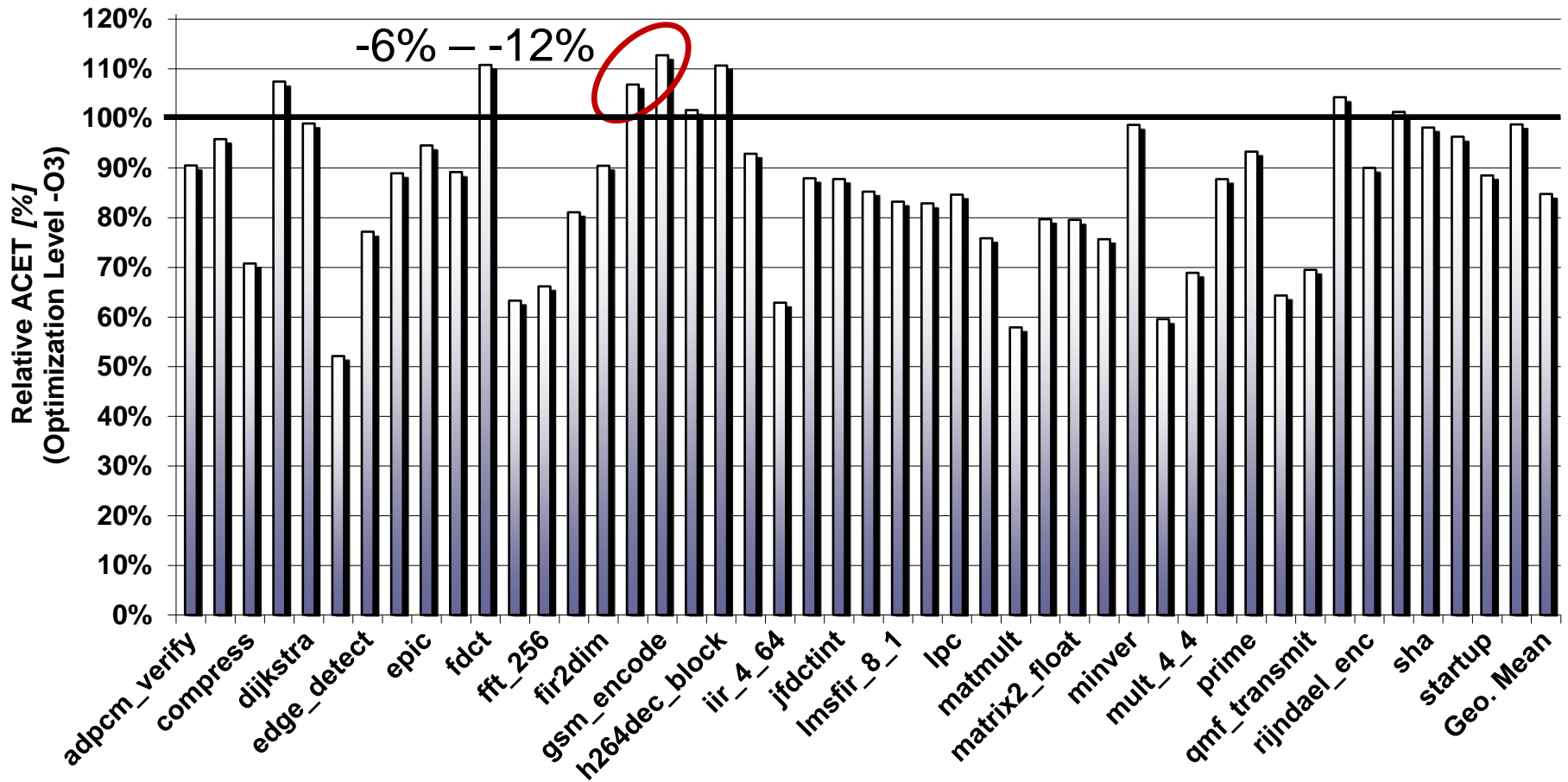
[H. Falk, *WCET-aware Register Allocation based on Graph Coloring*, DAC, San Francisco, 2009]

Relative WCET_{EST} nach WCET Graph-Färbung



100% = WCET_{EST} mit Standard Graph-Färbung (höchster Grad)

Relative ACET nach WCET Graph-Färbung



100% = ACET mit Standard Graph-Färbung (höchster Grad)

Diskussion

- WCET_{EST}-Reduktionen von 6,9% bis 75,9%, im Mittel 33,9%.
- Allokation aller 46 Benchmarks führt 1.979 WCET-Analysen aus.
- Laufzeit der WCET Graph-Färbung: 12:15 Stunden für alle 46 Benchmarks → 16 Minuten pro Benchmark im Schnitt
- ACET-Reduktionen von bis zu 47,9%, aber Verschlechterungen bis zu 12,7%, im Mittel 15,2% ACET-Verbesserung.
- Benchmarks verhalten sich z.T. sehr unterschiedlich:
gsm-Familie: 51,5% – 66,2% WCET_{EST}-Reduktion
 6,8% – 12,7% ACET-Verschlechterung
- Grund: WCET Graph-Färbung vermeidet *Spill*-Code entlang WCEP, fügt aber *Spill*-Code an anderen Stellen im CFG ein, die in einem *average-case* Szenario oft ausgeführt werden

Zwischenfazit

Abgleich mit Konsequenzen für $WCET_{EST}$ -Optimierungen

Optimierungen zur $WCET_{EST}$ -Minimierung ...

– ... brauchen zwingend Detailwissen über den WCEP

👍 *$WCET$ Graph-Färbung berücksichtigt WCEP*

– ... müssen immer berücksichtigen, dass sich der WCEP nach jeder Entscheidung, die eine Optimierung trifft, ändern kann

👍 *$WCET$ Graph-Färbung aktualisiert WCEP nach jeder Iteration*

– ... sollten ihre Entscheidungen, wo was zu optimieren ist, nicht nur aufgrund lokaler Informationen treffen, sondern sollten stets die globalen Auswirkungen einer Entscheidung berücksichtigen

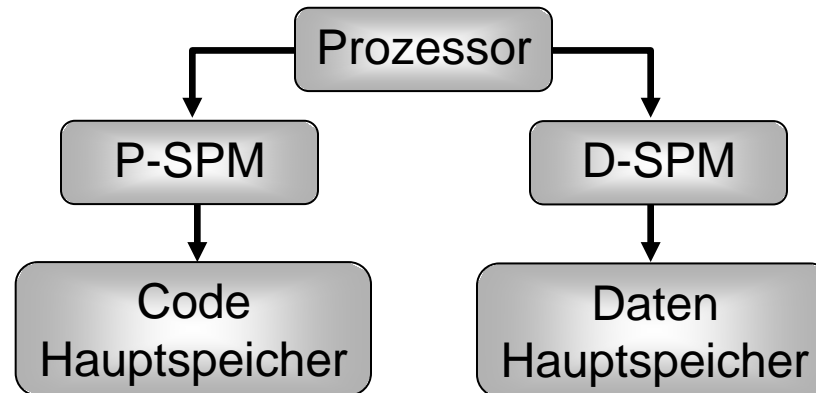
👎 *$WCET$ Graph-Färbung ist Greedy-Heuristik, die nur lokale Daten pro Basisblock betrachtet*

Inhalte des Kapitels

9. Compiler zur WCET_{EST}-Minimierung

- Einführung
 - Integration eines WCET-Zeitmodells in einen Compiler
 - Herausforderungen bei der WCET-Optimierung
- *Procedure Cloning & Positioning*
 - WCET-bewusstes *Procedure Cloning*
 - *Procedure Positioning* zur Reduktion von *Cache Misses*
- Register-Allokation
 - Problem der Standard Graph-Färbung
 - WCET-bewusste Graph-Färbung
- *Scratchpad*-Allokation von Daten und Code
 - Allokation von globalen Daten
 - Allokation von Basisblöcken

Im Folgenden: Harvard-Architekturen



- Separate Busse und Speicher für Code und Daten
- *Scratchpad*-Allokation von Code und Daten können unabhängig voneinander gelöst werden
- ☞ Zwei separate ILPs für diese beiden Optimierungen
- ☞ Non-Harvard Architekturen mit gemeinsamen Bussen und Speichern für Code und Daten: Naheliegende Kombination beider Einzel-ILPs

ILP zur *Scratchpad*-Allokation von Daten

Ziel

- Bestimme Menge globaler oder lokaler statischer Variablen (skalar und zusammengesetzte Typen) zur Allokation in Daten-SPM,
- so dass ausgewählte Datenobjekte $WCET_{EST}$ -Minimierung erzielen,
- unter Berücksichtigung wechselnder WCEPs.

Ansatz

- Ganzzahlig-lineare Programmierung
- ☞ Optimale Resultate

- *Notation*: Großbuchstaben \cong Konstanten,
Kleinbuchstaben \cong Variablen

Entscheidungsvariablen und Kosten

- **Binäre Entscheidungsvariablen pro Datenobjekt:**

$$y_i = \begin{cases} 1 & \text{falls Datenobjekt } d_i \text{ in } mem_{spm} \\ 0 & \text{falls Datenobjekt } d_i \text{ in } mem_{main} \end{cases}$$

- **Kosten eines Basisblocks b_j :**

$$c_j = C_j - \sum_{\text{Datenobjekte } d_i} G_{i,j} * y_i$$

c_j modelliert die $WCET_{EST}$ von b_j , abhängig davon ob die Datenobjekte, auf die b_j zugreift, im SPM oder im Hauptspeicher liegen

C_j : b_j 's $WCET_{EST}$ wenn alle Datenobjekte im Hauptspeicher liegen

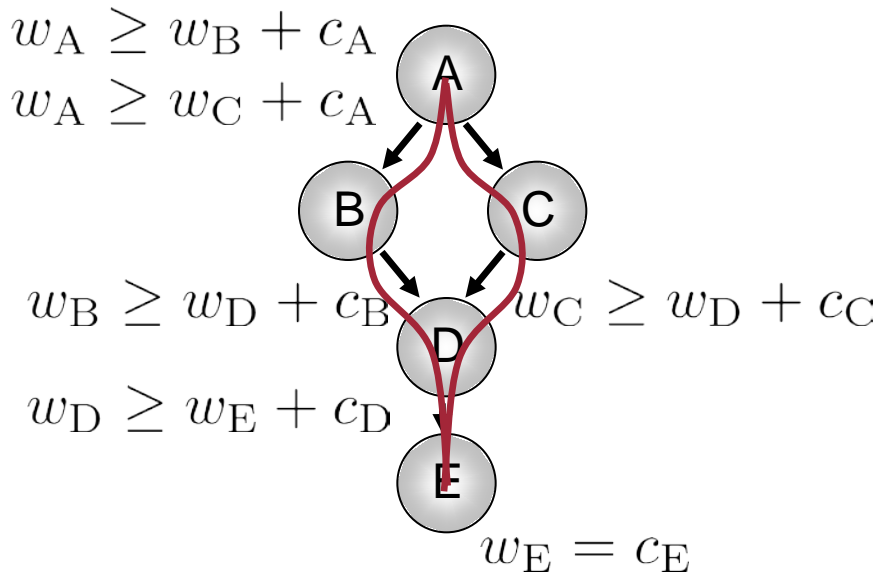
$G_{i,j}$: WCET-Reduktion von b_j , wenn Datenobjekt d_i im SPM allokiert wird

Intraprozeduraler Kontrollfluss (1)

[V. Suhendra et al., WCET Centric Data Allocation to Scratchpad Memory, RTSS, Miami, 2005]

– Modellierung des Kontrollflusses einer Funktion:

Azyklische Teilgraphen:



(Reduzierbare) Schleifen:



- Innerste Schleifen L wie azyklische Graphen bearbeiten
- Schleife L falten
- Kosten von L :
 $c_L = w_G * C_{max}^L$
- Iteriere mit nächsten innersten Schleifen

$w_A = \text{WCET des längsten in A startenden Pfades}$

Intraprozeduraler Kontrollfluss (2)

– **Modellierung des Kontrollflusses einer Funktion:**

- Für Endknoten b_j eines azyklischen Teilgraphen wird w_j auf die Kosten c_j gesetzt
- Für alle anderen Knoten b_j eines azyklischen Teilgraphen muss die WCET der in b_j startenden Pfade größer gleich der WCET jedes Nachfolgers b_{succ} sein, PLUS der Kosten c_j von b_j
- Für jeden Nachfolger b_{succ} von b_j wird eine Nebenbedingung im ILP formuliert
- ☞ Variable w_j modelliert tatsächlich alle in b_j startenden Pfade. Durch \geq -Operator in den Ungleichungen wird Maximum-Bildung über alle in w_j startenden Pfade vorgenommen
- ☝ Eventuelle WCEP-Wechsel zwischen zwei Nachfolgern b_{succ1} und b_{succ2} von b_j werden automatisch berücksichtigt

Intraprozeduraler Kontrollfluss (3)

– **Modellierung des Kontrollflusses einer Funktion:**

- Reduzierbare Schleifen L haben genau einen Eintrittspunkt b_{entry}^L
- Durch „Ausblenden“ der Rücksprungkante einer reduzierbaren Schleife L wird der CFG des Schleifenkörpers azyklisch
- Erzeuge Nebenbedingungen für azyklischen Schleifenkörper wie auf [Folie 65](#) links
- ☞ Variable w_{entry}^L modelliert $WCET_{EST}$ des kompletten Schleifenkörpers von L , wenn dieser genau einmal ausgeführt wird
- Multiplikation von w_{entry}^L mit der max. Iterationszahl C_{max}^L von L liefert $WCET_{EST}$ für alle Ausführungen der Schleife
- ☞ Kosten von L gleich der $WCET_{EST}$ von L für alle Ausführungen

Interprozeduraler Kontrollfluss

– Modellierung von Funktionsaufrufen:

- Jede Funktion F hat eindeutigen Startknoten b_{entry}^F
- Variable w_{entry}^F modelliert $WCET_{EST}$ des längsten Pfades in F , der in b_{entry}^F startet
- ☞ w_{entry}^F modelliert $WCET_{EST}$ von F für exakt 1 Ausführung von F
- ☞ Ruft F' Funktion F auf: addiere w_{entry}^F zu $WCET_{EST}$ von F'

– Funktionsaufrufe in Basisblock b_j :

- „Aufrufstrafe“ für aufrufenden Basisblock:

$$cp_j = \begin{cases} w_{entry}^F & \text{falls } b_j \text{ } F \text{ aufruft} \\ 0 & \text{sonst} \end{cases}$$
- ILP-Nebenbedingung pro Basisblock:

$$\forall(b_j, b_{succ}) : w_j \geq w_{succ} + c_j + cp_j$$

Scratchpad-Kapazität und Zielfunktion

– Scratchpad-Kapazitätsbeschränkung:

$$\sum_{\text{Datenobjekte } d_i} (S_i * y_i) \leq S_{spm}$$

Die Summe der Größen aller auf dem SPM platzierten Datenobjekte muss kleiner gleich der verfügbaren SPM-Kapazität sein

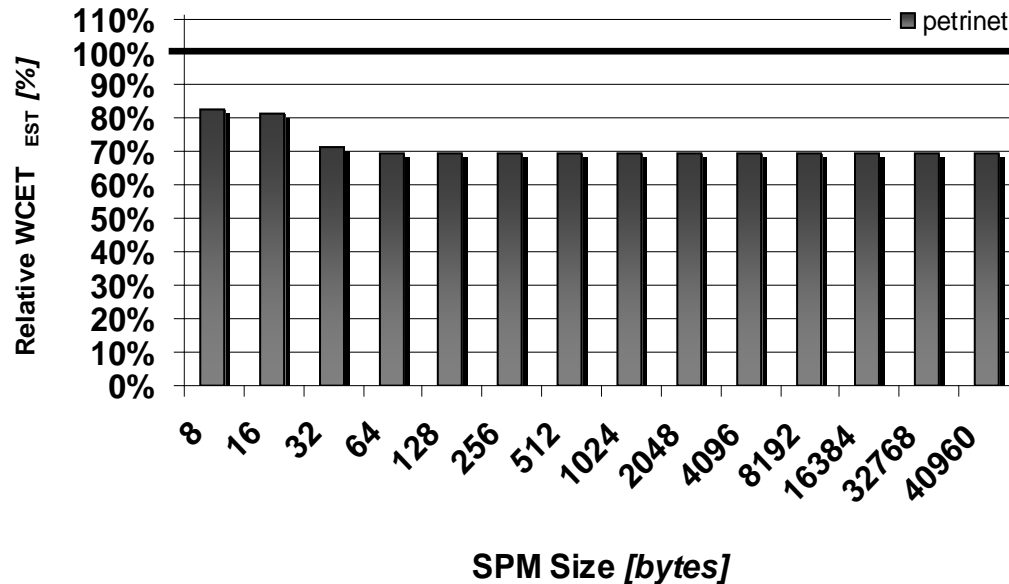
– Zielfunktion:

- w_{entry}^F modelliert $WCET_{EST}$ von F wenn F einmal ausgeführt wird
- Variable w_{entry}^{main} modelliert $WCET_{EST}$ des gesamten Programms

$$\Rightarrow w_{entry}^{main} \rightsquigarrow min.$$

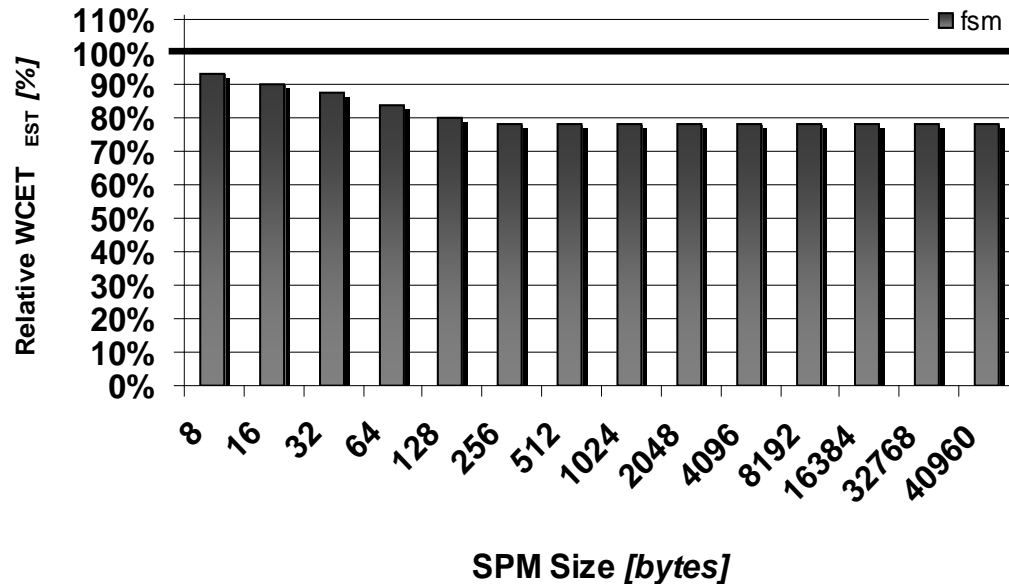
[F. Rotthowe, Scratchpad-Allokation von Daten zur Worst-Case Execution Time Minimierung, Diplomarbeit, TU Dortmund, 2008]

Rel. WCET_{EST} nach D-SPM-Allokation für petrinet



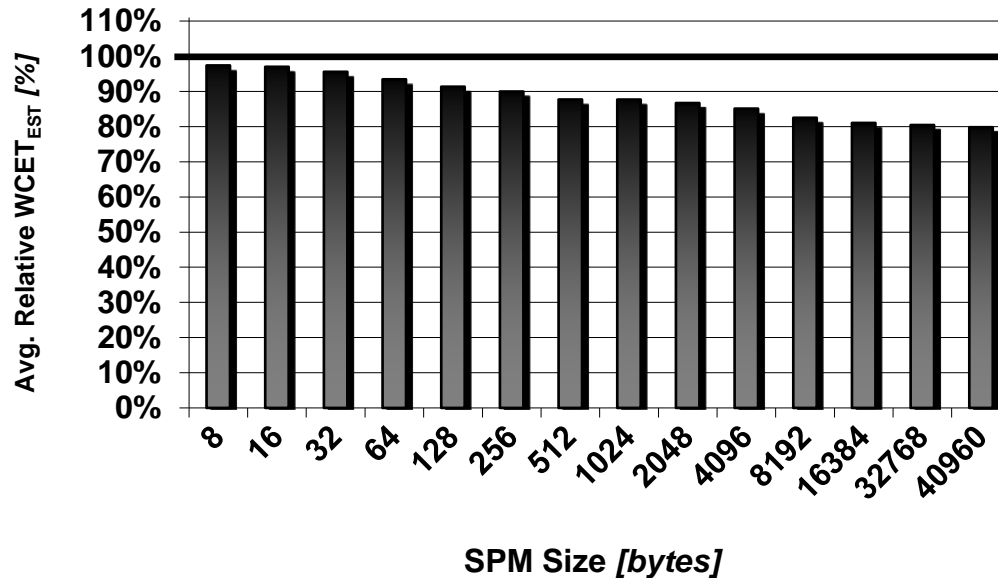
- Beträchtliche WCET_{EST}-Reduktionen bereits für sehr kleine SPMs
- 6 globale Daten von insgesamt 72 Bytes Größe
- WCET_{EST}-Reduktionen um 28,6% für 32 Bytes SPM
- X-Achse: Absolute SPM-Größen
- Y-Achse: 100% = WCET_{EST} ohne Daten-Scratchpad

Rel. WCET_{EST} nach D-SPM-Allokation für fsm



- Stetige WCET_{EST}-Reduktionen mit zunehmenden SPM-Größen
- 98 globale Variablen à 4 Bytes Größe
- WCET_{EST}-Reduktionen um 21,4% für 256 Bytes SPM
- X-Achse: Absolute SPM-Größen
- Y-Achse: 100% = WCET_{EST} ohne Daten-Scratchpad

Rel. WCET_{EST} nach D-SPM-Allokation für 14 Benchmarks



- Stetige WCET_{EST}-Reduktionen mit zunehmenden SPM-Größen
- WCET_{EST}-Reduktionen von 2,7% – 20,6%
- X-Achse: Absolute SPM-Größen
- Y-Achse: 100% = WCET_{EST} ohne Daten-Scratchpad

ILP zur *Scratchpad*-Allokation von Programmcode

Ziel

- Bestimme Menge von Basisblöcken zur Allokation in Programm-SPM,
- so dass ausgewählte Basisblöcke $WCET_{EST}$ -Minimierung erzielen
- unter Berücksichtigung wechselnder WCEPs.

Ansatz

- Ganzzahlig-lineare Programmierung
- ☞ Optimale Resultate

- *Notation*: Großbuchstaben \cong Konstanten,
Kleinbuchstaben \cong Variablen

Entscheidungsvariablen und Kosten

- **Binäre Entscheidungsvariablen pro Basisblock:**

$$x_i = \begin{cases} 1 & \text{falls Basisblock } b_i \text{ in } mem_{spm} \\ 0 & \text{falls Basisblock } b_i \text{ in } mem_{main} \end{cases}$$

- **Kosten eines Basisblocks b_i :**

$$c_i = C_{main}^i * (1 - x_i) + C_{spm}^i * x_i$$

c_i modelliert die $WCET_{EST}$ von b_i wenn b_i entweder im Hauptspeicher oder im SPM liegt

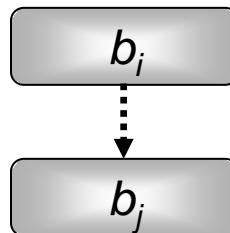
- **Modellierung des intraprozeduralen Kontrollflusses:**

Wie zuvor zur $WCET$ -bewussten SPM-Allokation von Daten

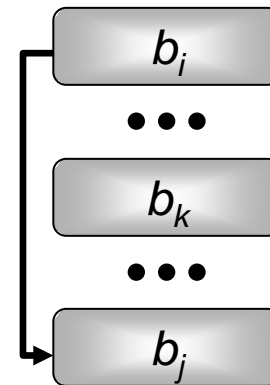
Sprünge zwischen Speichern

- **Allokation aufeinander folgender Basisblöcke:**
 - Allokation aufeinander folgender Basisblöcke in verschiedene Speicher erfordert Einfügen spezieller Sprung-Befehle
 - Sprünge zwischen Speichern sehr teuer: mehr als 1 Instruktion
 - Sprung-Befehle: Variablen im ILP bzgl. $WCET_{EST}$ und Code-Größe, abhängig von Entscheidungsvariablen (☞ siehe Kapitel 7)

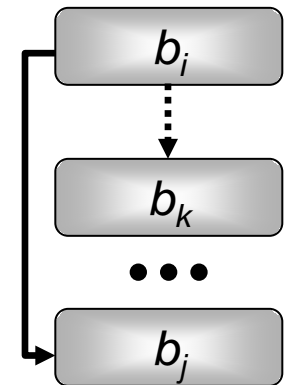
- **Sprung-Szenarien:**
(„Jump Scenarios“, JS)



a) Implizit



b) Unbedingt



c) Bedingt

Strafen für Sprünge zwischen Speichern

– **Sprung-Strafe – „Jump Penalty“** ($\otimes \cong$ Boolesches XOR):

– Strafe für implizite Sprünge: jp_{impl}^i

$$jp_{impl}^i = (x_i \otimes x_j) * P_{high}$$

Hohe Strafe, falls BBs i und j in verschiedenen Speichern liegen

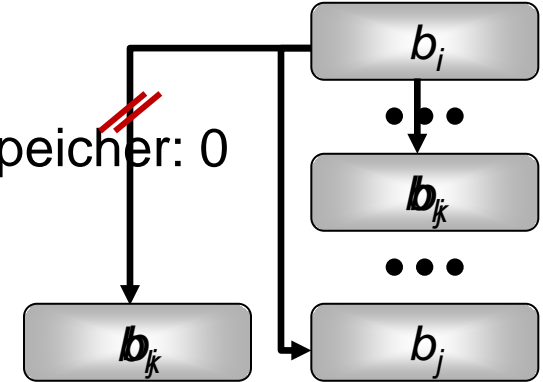
– Strafe für unbedingte Sprünge: jp_{uncond}^i

– Falls b_i und b_j in versch. Speichern: P_{high}

– Falls b_i und b_j nebeneinander im gleichen Speicher: 0

– Falls b_i und b_j nicht nebeneinander im gleichen Speicher: P_{low}

$$jp_{uncond}^i = (x_i \otimes x_j) * P_{high} + \overline{(x_i \otimes x_j)} * (1 - \prod_{b_k \in JS \text{ b)}} (x_i \otimes x_k)) * P_{low}$$



– Bedingte Sprünge: Kombination von jp_{impl}^i und jp_{uncond}^i

Sprung-Strafen und interprozeduraler Kontrollfluss

– Sprung-Strafe pro Basisblock b_i :

$$jp_i = \begin{cases} jp_{impl}^i & \text{wenn Sprung-Szenario von } b_i \text{ implizit} \\ jp_{uncond}^i & \text{wenn Sprung-Szenario von } b_i \text{ unbedingt} \\ jp_{cond}^i & \text{wenn Sprung-Szenario von } b_i \text{ bedingt} \\ 0 & \text{sonst} \end{cases}$$

– Strafe für Funktionsaufrufe pro Basisblock b_i :

$$cp_i = \begin{cases} w_{entry}^F + (x_i \otimes x_{entry}^F) * P_{high} & \text{falls } b_i \text{ } F \text{ aufruft} \\ \quad + (1 - (x_i \otimes x_{entry}^F)) * P_{low} & \\ 0 & \text{sonst} \end{cases}$$

Ruft Block b_i Funktion F auf: Addiere $WCET_{EST}$ von F zu $WCET_{EST}$ von b_i . Addiere zusätzlich P_{high} , wenn Funktionsaufruf über Speicher hinweg springt. Wenn Funktionsaufruf im gleichen Speicher bleibt, addiere P_{low} .

Basisblock-Größen

- **Nebenbedingung für alle Nachfolger b_{succ} von b_i :**

$$\forall(b_i, b_{succ}) : w_i \geq w_{succ} + c_i + cp_i + jp_i$$

- **Größe eines Basisblocks b_i :**

- Größe von b_i hängt von Sprung-Code in b_i ab
- Größe des Sprung-Codes in b_i hängt von Sprung-Szenario ab:

$$s_i = \begin{cases} (x_i \wedge \overline{x_j}) * S_{impl} & \text{wenn Sprung-Szenario von } b_i \text{ implizit} \\ (x_i \wedge \overline{x_j}) * S_{uncond} & \text{wenn Sprung-Szenario von } b_i \text{ unbedingt} \\ (x_i \wedge \overline{x_k}) * S_{impl} + & \text{wenn Sprung-Szenario von } b_i \text{ bedingt} \\ \quad (x_i \wedge \overline{x_j}) * S_{uncond} & \\ (x_i \wedge \overline{x_{entry}^F}) * S_{call} & \text{wenn } b_i \text{ } F \text{ aufruft} \\ 0 & \text{sonst} \end{cases}$$

- Gesamtgröße von Basisblock b_i :
Größe S_i von b_i ohne jeglichen Sprung-Code plus
Größe s_i des Sprung-Codes von b_i

Scratchpad-Kapazität und Zielfunktion

– **Scratchpad-Kapazitätsbeschränkung:**

$$\sum_{b_i} (S_i * x_i + s_i) \leq S_{spm}$$

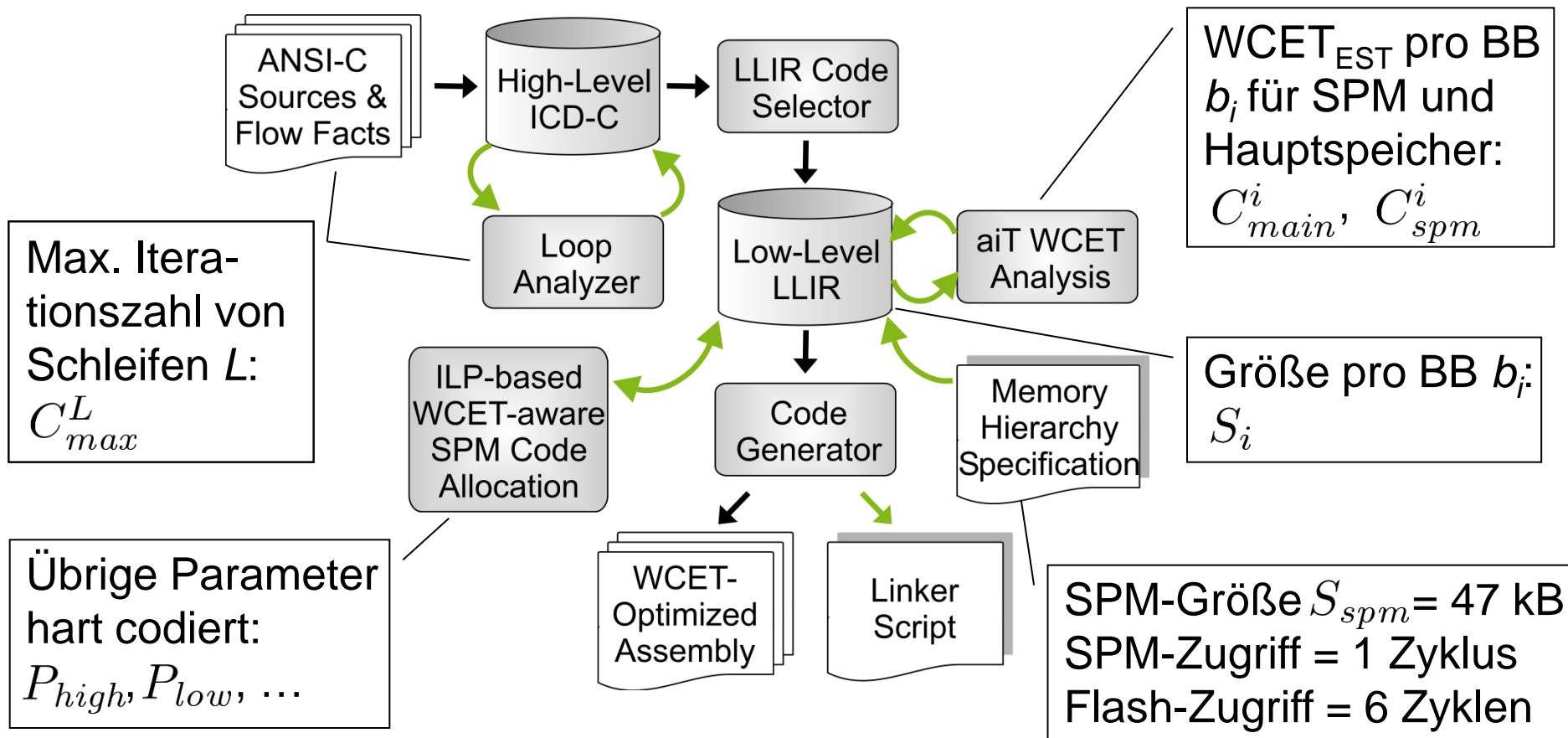
Die Summe der Größen aller auf dem SPM platzierten Basisblöcke ohne Sprungcode plus Größe des Sprung-Codes von b_i muss kleiner gleich der verfügbaren SPM-Kapazität sein

– **Zielfunktion:**

$$w_{entry}^{main} \rightsquigarrow min.$$

[H. Falk, J. C. Kleinsorge, *Optimal Static WCET-aware Scratchpad Allocation of Program Code*, DAC, San Francisco, 2009]

Bestimmung der Konstanten für die ILPs (1)

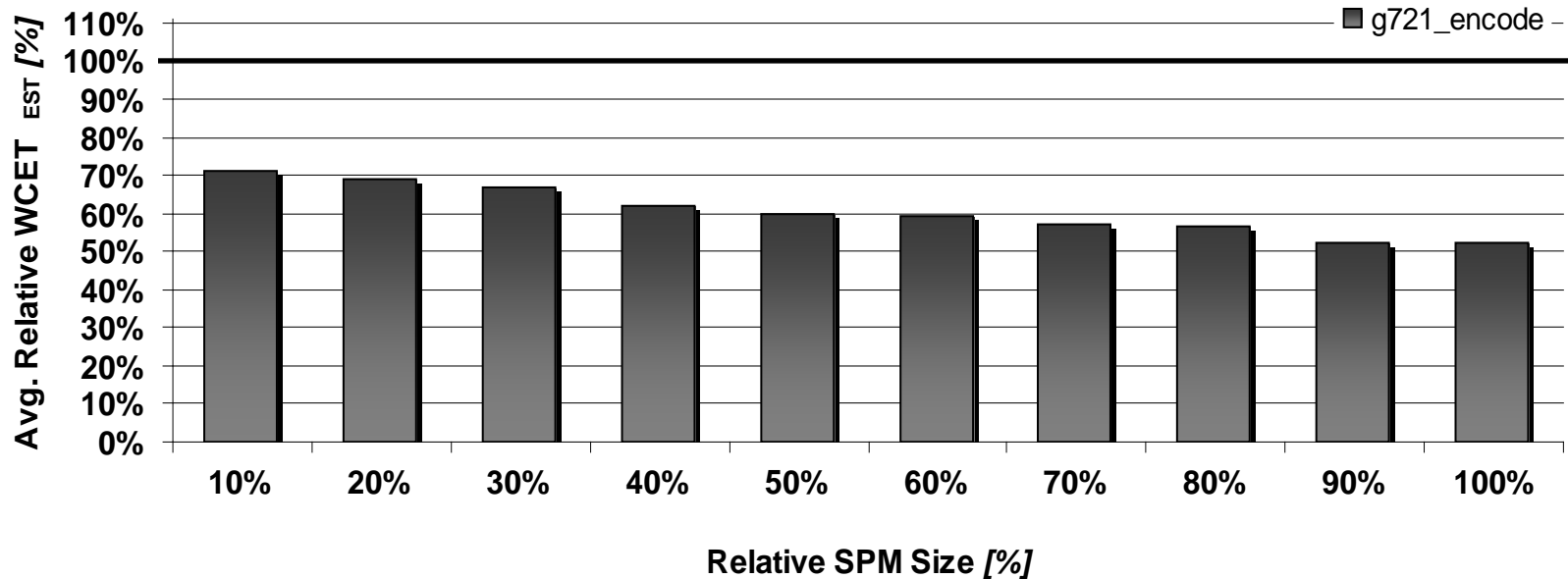


Bestimmung der Konstanten für die ILPs (2)

- $WCET_{EST} C_{main}^i, C_{spm}^i$ pro Basisblock b_i für beide Speicher:
Durch zwei WCET-Analysen ermittelt, in denen alle Basisblöcke einmal im SPM, das andere Mal im Hauptspeicher liegen.
- Max. Iterationszahl von Schleifen C_{max}^L :
Entweder durch *Flow Facts* im Quellcode annotiert, oder durch WCC's automatische Schleifenanalyse bestimmt.
- Größe S_i eines Basisblocks ohne Sprung-Code:
Durch Abzählen der LIR-Operationen
- Größe S_{spm} des Scratchpads:
WCC's Speicher-Beschreibung entnommen
- Übrige Parameter experimentell ermittelt:

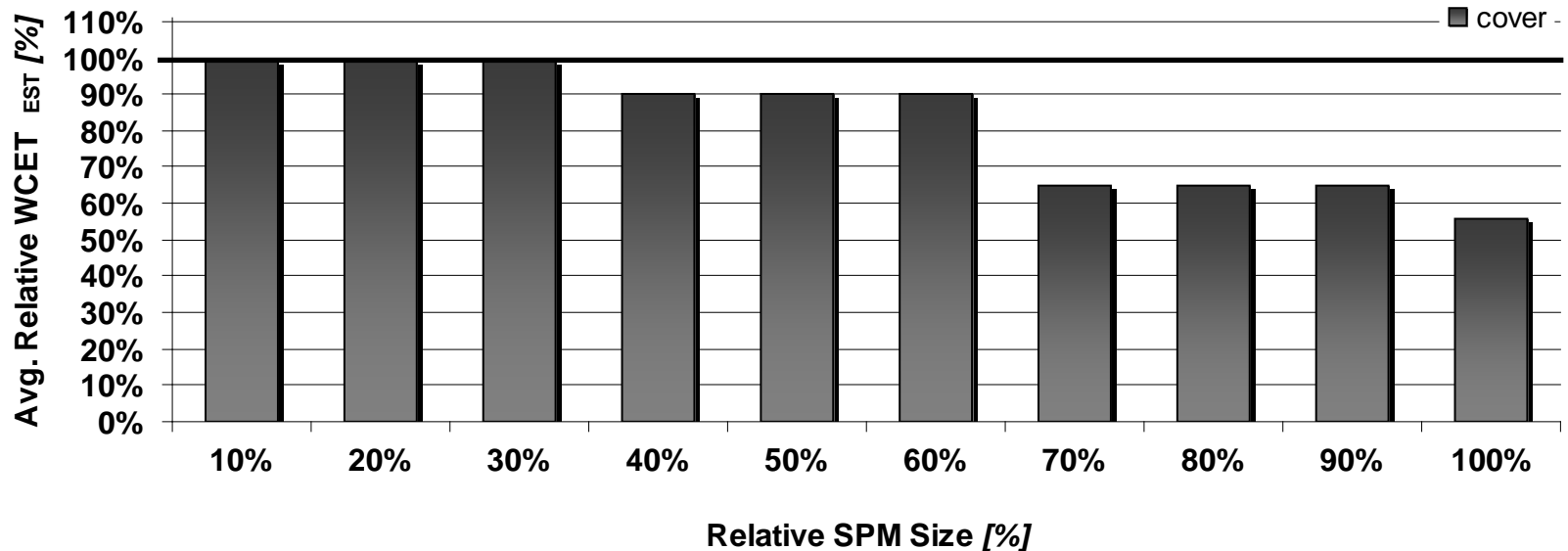
$P_{high} = 16$	$P_{low} = 8$
$S_{impl} = S_{uncond} = 10$	$S_{call} = 12$

Rel. WCET_{EST} nach P-SPM-Allokation für g721 encoder



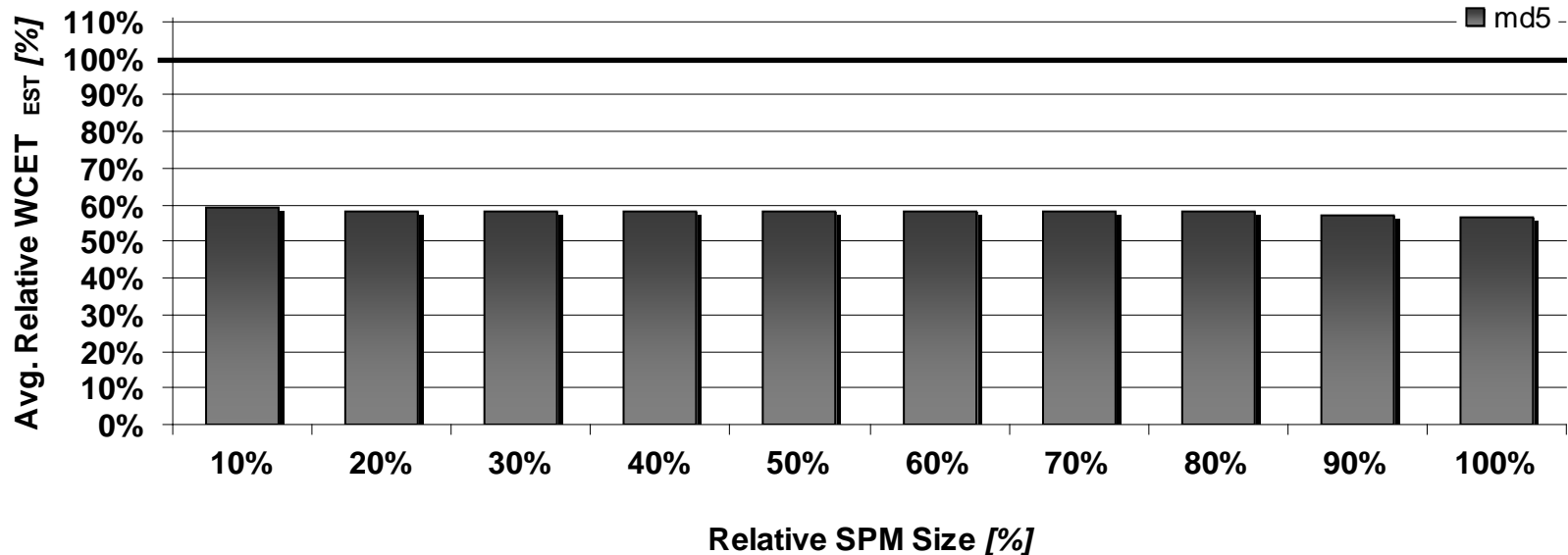
- Stetige WCET_{EST}-Reduktionen für zunehmende SPM-Größen
- WCET_{EST}-Reduktionen von 29% – 48%
- X-Achse: SPM-Größe = $x\%$ der Code-Größe des Benchmarks
- Y-Achse: 100% = WCET_{EST} ohne Code-Scratchpad

Rel. WCET_{EST} nach P-SPM-Allokation für cover



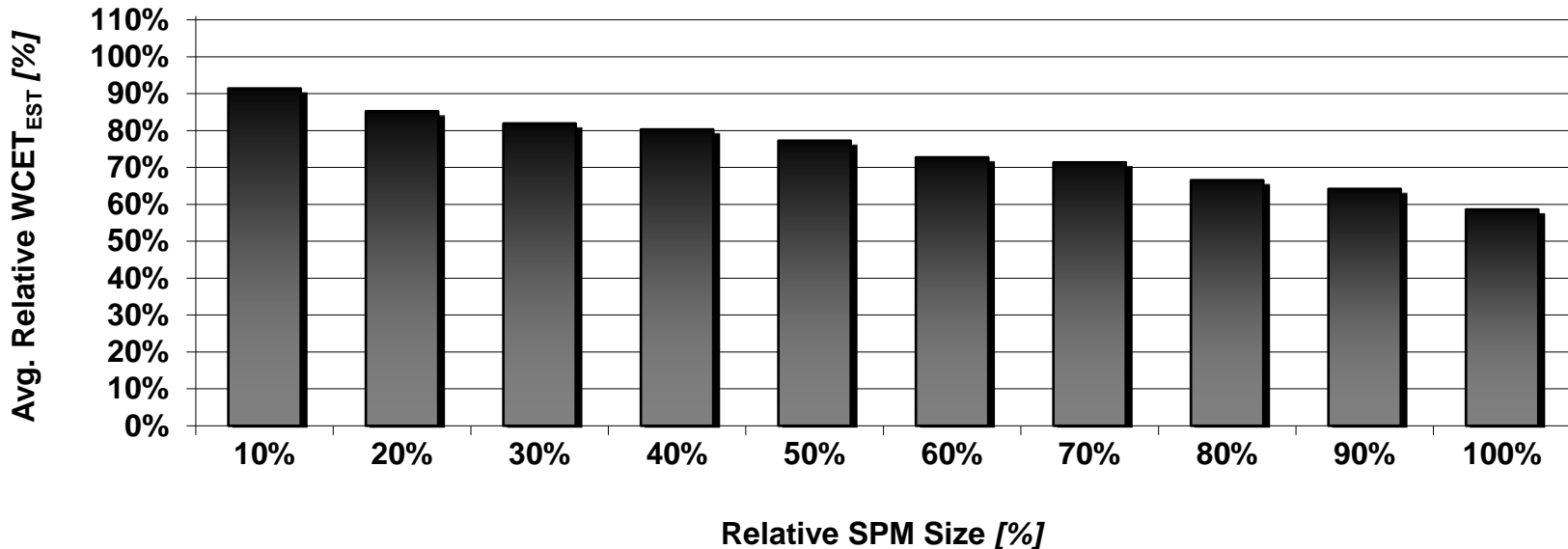
- Schrittweise WCET_{EST}-Reduktionen: vorteilhafter Code nur bei 40%, 70% und 100% rel. SPM-Größe auf *Scratchpad* allokiert
- WCET_{EST}-Reduktionen von 10%, 35% und 44%
- X-Achse: SPM-Größe = $x\%$ der Code-Größe des Benchmarks
- Y-Achse: 100% = WCET_{EST} ohne Code-*Scratchpad*

Rel. WCET_{EST} nach P-SPM-Allokation für md5



- Gleiche WCET_{EST}-Reduktionen für alle SPM-Größen: 40% - 44%
- ILP findet zielsicher kleinen aber zeitkritischen Hot Spot von `md5` und allokiert diesen auf *Scratchpad*
- X-Achse: SPM-Größe = $x\%$ der Code-Größe des Benchmarks
- Y-Achse: 100% = WCET_{EST} ohne Code-*Scratchpad*

Rel. WCET_{EST} nach P-SPM-Allokation für 73 Benchmarks



- Stetige WCET_{EST}-Reduktionen mit zunehmenden SPM-Größen
- WCET_{EST}-Reduktionen von 8% – 41%
- X-Achse: SPM-Größe = $x\%$ der Code-Größe der Benchmarks
- Y-Achse: 100% = WCET_{EST} ohne Code-Scratchpad

Zwischenfazit

Abgleich mit Konsequenzen für $WCET_{EST}$ -Optimierungen

Optimierungen zur $WCET_{EST}$ -Minimierung ...

– ... brauchen zwingend Detailwissen über den WCEP

👍 *SPM-Allokationen berücksichtigen WCEP*

– ... müssen immer berücksichtigen, dass sich der WCEP nach jeder Entscheidung, die eine Optimierung trifft, ändern kann

👍 *SPM-Allokationen erfassen WCEP-Änderungen inhärent im ILP*

– ... sollten ihre Entscheidungen, wo was zu optimieren ist, nicht nur aufgrund lokaler Informationen treffen, sondern sollten stets die globalen Auswirkungen einer Entscheidung berücksichtigen

👍 *Zielfunktionen der ILPs modellieren die globale WCET eines Programms, die zu minimieren ist.*

Literatur

WCC-Infrastruktur

- H. Falk, P. Lokuciejewski. *A compiler framework for the reduction of worst-case execution times*. Springer Real-Time Systems 46(2), Oktober 2010.

Zusammenfassung

Compiler zur WCET_{EST}-Minimierung

- Integration eines formalen WCET-Zeitmodells in Compiler
- Herausforderung: Berücksichtigung instabiler WCEPs im Verlauf von Optimierungen

WCET-bewusste Optimierungen

- *Procedure Cloning & Positioning*: Greedy-Heuristiken, die aktuellen WCEP durch wiederholte WCET-Analysen ermitteln
- Register-Allokation: zyklische Abhängigkeiten zwischen Register-Allokation und WCET-Analyse; Graph-Färbung entlang des stets aktuellen WCEP
- *Scratchpad*-Allokationen: inhärente WCEP-Modellierung in ILPs; daher keine wiederholten WCET-Analysen nötig